

13324

ALÜHİT ÇEVHERİNİN ASİDİK ORTAŁIDA LEACHINGI
VE REAKSİYON KİNETİĞİ

Mine Özdemir

Anadolu Üniversitesi
Fen Bilimleri Enstitüsü
Lisansüstü Yönetmeliği Uyarınca
Kimya Mühendisliği Anabilim Dalı
Kimyasal Teknolojiler Bilim Dalında
YÜKSEK LİSANS TEZİ
Olarak Hazırlanmıştır.

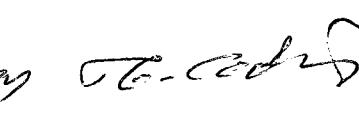
T. C.
Yüksekokretim Kurulu
Dokümantasyon Merkezi

Danışman: Doç. Dr. Halil ÇETİSLİ

Şubat - 1990

Mine Özdemir'in YÜKSEK LİSANS tezi olarak hazırladığı "Alünit Cevherinin Asidik Ortamda Leachingi Ve Reaksiyon Kinetiği" başlıklı bu çalışma, jürimizce lisansüstü yönetmeliğinin ilgili maddeleri uyarınca değerlendirilerek kabul edilmiştir.

12/2/1990

Üye: Doç.Dr. Tenvit Çakıboğlu 

Üye: Doç.Dr. Halil Çetinkaya 

Üye: Y.Doç.Dr. Oğuz İnal Öznur 

Fen Bilimleri Enstitüsü Yönetim Kurulu'nun 14. SUBAT 1990
..... gün ve 233/6... sayılı kararıyla onaylanmıştır.


Prof.Dr. Rüstem KAYA

Enstitü Müdürü

ÖZET

Bu çalışmada alünit cevherinden alüminyumun leaching reaksiyon kinetiği; asit türü, asit derişimi, KF/Al_2O_3 mol oranı, kalsinasyon sıcaklığı, kalsinasyon süresi, reaksiyon sıcaklığı ve (Al_2O_3+KF) karışımının birlikte kalsinasyonu gibi parametreler değiştirilerek incelenmiştir.

Bu çalışma sonunda alünitteki alüminyumun leaching reaksiyonunun birün katmanında diffüzyon kontrollü bir heterojen reaksiyon olduğu ve heterojen reaksiyon aktivasyon enerjisinin 5 kcal/mol'den düşük olduğu bulunmuştur. Alünit cevherinin $650^{\circ}C$:de 60dk süre ile kalsine edilmesi, gözelti olarak 120 ml'et $1,5\text{M} H_2SO_4$ veya $3,0\text{M} HCl$ kullanılması ve reaksiyon sıcaklığının $95\pm 5^{\circ}C$ olması durumunda cevherdeki alüminyum sırası ile %73,65 veya %72,74 oranında gözelti fazına alındığı bulunmuştur. Aynı şartlarda gözelti ortamında KF/Al_2O_3 mol oranı 0,60 olacak şekilde KF bulunması durumunda ise gözünme verimlerinin sırası ile %81,42 ve %80,82 olduğu tespit edilmiştir. Belirtilen şartlarda sülfürik asitli ortamda gerçekleştirilen reaksiyonun aktivasyon enerjisi KF 'süz ortam için 4,90 kcal/mol, KF 'lu ortam için ise 4,46 kcal/mol olarak hesaplanmıştır. Hidroklorik asitli ortamda gerçekleştirilen reaksiyonun aktivasyon enerjisi ise, sırası ile 4,81 kcal/mol ve 4,43 kcal/mol olduğu bulunmuştur.

SUMMARY

In this study the parameters aluminium leaching reaction kinetics; alumite ore, and type, acid concentration, KF/Al_2O_3 mol percentage, calcination temperature, calcination time, reaction temperature, and co-calcination of (Alunite + KF) were studied after being changed.

As a result the leaching reaction of aluminium in alunite was found out to be a diffusion controlled heterogeneous reaction in the product layer and the activation energy of heterogeneous reaction to be lower than 5 kcal/mol.

The aluminium in the ore was also found to be of 73,65 % or 72,74 % respectively in the solution phase when alunite ore calcinated at 650°C for 60 minutes, and 120 ml t 1,5M H_2SO_4 or 3,0M HCl used as solutions and with a reaction temperature of 95+5 °C. Under the same conditions with a 0,60 mol percentage of KF/Al_2O_3 in solution state, dissolution efficiencies were determined to be 81,42 % and 80,82 % respectively, for KF medium. Under the conditions mentioned, the activation energy of the reaction implemented in H_2SO_4 medium was calculated to be 4,90 kcal/mol for the medium without KF but 4,46 kcal/mol for that with KF. The activation energy of the reaction, however, implemented in a medium of hydrochloric acid was found to be 4,81 kcal/mol and 4,43 kcal/mol respectively.

TEŞEKKÜR

Çalışma konumu belirleyen, çalışmalarımı yönlendiren ve destekleyen, Sayın Hocam Doç.Dr.Halil ÇETİŞLİ'ye teşekkürlerimi sunarım.

Çalışmalarım sırasında maddi ve manevi desteklerini eksik etmeyen Kimya Mühendisliği Bölüm elemanlarına ve Yüksek Lisans arkadaşlarına teşekkürü bir borç biliyorum.

Tez yazımını titizlikle gerçekleştiren Sayın Semra ÜNAL ve şekillerin çiziminde yardımcı olan Sayın Ahmet GÜN'e teşekkürü bir borç biliyorum.

Yaşentim boyunca maddi ve manevi desteklerini hiçbir zaman esirgemeyen ve Yüksek Lisans programı boyunca da her türlü fedakârlığa katlanan anneme, babama ve kardeşimine minnettarım.

Mine ÖZDENİR

İÇİNDEKİLER

	<u>Sayfa</u>
ÖZET	iv
SUMMARY	v
TEŞEKKÜR	vi
ŞEKİLLER DİZİNİ	x
ÇİZELGELER DİZİNİ	xii
SİMGELER VE KISALTMALAR DİZİNİ	xiv
1. GİRİŞ	1
2. ALÜMİT	3
2.1. Alümitin Kristal Yapısı	3
2.2. Alümitin Fiziksel Ve Kimyasel Özellikleri	3
2.3. Alümitin Termal Bozunması	5
2.4. Alümit Cevherinden Elde Edilen Ürünler	9
2.4.1. Sap	9
2.4.2. Alüminyum sülfat	12
2.4.3. Potasyum sülfat	14
2.4.4. Alümina	15
3. LEACHING	17
3.1. Leaching Reaksiyon Türleri	18
3.1.1. Su ile çözündürme	18
3.1.2. Oksit ve hidroksitlerin çözündürülmesi	18
3.1.3. Katyon değiştirerek çözündürme	20
3.1.4. Kompleks iyon oluşturarak çözündürme	20
3.1.5. Yükseltgeme ve indirgeme ile çözündürme ...	21
3.2. Leaching Prosesleri Kinetiği	21
3.2.1. Yüksek reaksiyonun sınırlayıcı olması	22
3.2.2. Katı-sıvı arayüzeyindeki çözelti sınır katmanındaki difüzyonun sınırlayıcı olması.	24

İÇİNDEKİLER (devam)

Sayfa

3.2.3. Ürün katman içindeki diffüzyonun sınırlayıcı olması	27
3.2.4. Birden fazla basamak ile sınırlandırılmış reaksiyonlar	29
3.2.5. Leaching proseslerinde sıcaklığın etkisi...	32
3.3. Leaching Teknikleri	33
3.3.1. Maden yatağında leaching	33
3.3.2. Yiğin leaching	33
3.3.3. Süzme leaching	34
3.3.4. Karıştırmalı leaching	34
3.4. Leaching Çözüçüleri	35
3.4.1. Asidik çözüçüler	35
3.4.2. Bazik çözüçüler	35
3.4.3. Su	36
3.4.4. Bakteriyel çözüçüler	36
3.5. Leaching Prosesini Etkileyen Faktörler	36
3.5.1. Parçacık boyutu	36
3.5.2. Reaktif derişimi	37
3.5.3. Sıcaklık	37
3.5.4. Karıştırma hızı	38
3.5.5. Bulamaç yoğunluğu	39
3.5.6. Bulamaç viskozitesi	39
3.6. Killerdan Alüminyumun Leachingi	39
4. DENYESEL ÇALIŞMA	41
4.1. Kullanılan Materyaller	41
4.2. Deney Yöntemi	41
4.3. Denel Bulgular	42
4.3.1. Alünitteki alüminyumun çözündürülmesi	42
4.3.2. Alünitteki alüminyumun çözünme reaksiyonu hız sabitleri	47

İÇİNDEKİLER (devam)

Sayfa

4.3.3. Leaching prosesinin gözlenen aktivasyon enerjisi	55
5. DENEL BULGULARIN TARTISILMASI	59
5.1. Alünitteki Alüminyumun Gözündürülmesi	59
5.2. Leaching Proses Kinetiği	61
5.3. Gözlenen Aktivasyon Enerjisi	63
6. SONUCLAR VE ÖNERİLER	64
6.1. Sonuçlar	64
6.2. Öneriler	64
KAYNAKLAR	66

ŞEKİLLER DİZİNİ

<u>Sekil</u>	<u>Sayfa</u>
2.1. (a) Alünitin polihedra koordinasyonu, (b) Alüminyum oktahedronunda bağ uzunlukları ve açıları	3
3.1. Katı-sıvı arayüzeyinde yatışkin-hal diffüzyon sınır katmanı	25
3.2. Çözünmeyen ürün katmanı olmuşmuş küresel katı parçacığın görünümü	27
3.3. Leaching prosesinde küresel parçacığın t anında görünümü	32
3.4. Leaching hızı üzerine (a) parçacık boyutu, (b) reaktif derişimi, (c) sıcaklık, (d) karıştırma hızı etkisi.....	38
4.1. Çözünen parçacık geometrisi ve hız sınırlayan basamakın farklı olması durumunda önerilen teorik bağıntılar kullanılarak çizilen zamana karşı $f(\alpha)$ değişim grafikleri...	49
4.2. 650°C sıcaklıkta 60 dk kalsine edilen alünitin HCl ve H_2SO_4 çözeltilerinde, $(95+5)^{\circ}\text{C}$ reaksiyon sıcaklığında, ortamındaki farklı KF miktarlarında gerçekleştirilen reaksiyonlara ait $t \rightarrow f(\alpha)$ grafikleri	50
4.3. 800°C sıcaklıkta farklı sürelerde kalsine edilen alünitin KF'lu ($\text{KF}/\text{Al}_2\text{O}_3 = 0,60$) HCl ve H_2SO_4 çözeltilerinde, $(95+5)^{\circ}\text{C}$ reaksiyon sıcaklığında gerçekleştirilen leaching reaksiyonlarına ait $t \rightarrow f(\alpha)$ grafikleri	51
4.4. 650°C sıcaklıkta 60 dk kalsine edilen alünitin KF'süz ve KF'lu ($\text{KF}/\text{Al}_2\text{O}_3 = 0,60$) farklı derişimli HCl ve H_2SO_4 çözeltilerinde, $(95+5)^{\circ}\text{C}$ reaksiyon sıcaklığında gerçekleştirilen leaching reaksiyonlarına ait $t \rightarrow f(\alpha)$ grafikleri..	52
4.5. Farklı sıcaklıklarda 60 dk kalsine edilen alünit ve (Alünit+KF) karışımının sırasıyla KF'lu ve KF'süz HCl ve H_2SO_4 çözeltilerinde, $(95+5)^{\circ}\text{C}$ reaksiyon sıcaklığında gerçekleştirilen leaching reaksiyonlarına ait $t \rightarrow f(\alpha)$ grafikleri	53

ŞEKİLLER DİZİNİ (devam)

<u>Sekil</u>	<u>Sayfa</u>
4.6. 650°C sıcaklıkta 60 dk kalsine edilen alünitin KF' süz ve KF'lü ($\text{KF}/\text{Al}_2\text{O}_3 = 0,60$) HCl ve H_2SO_4 çözeltilerinde, farklı reaksiyon sıcaklıklarında gerçekleştirilen leaching reaksiyonlarına ait $t \rightarrow f(\alpha)$ grafikleri	56
4.7. Gözlenen hız sabitlerinin sıcaklık ile değişimi	58

ÇİZELGELER DİZİNİ

<u>Cizelge</u>	<u>Sayfa</u>
2.1. Alünitteki bağ uzunlukları ve açıları	4
2.2. Farklı orijinli alünit minerallerine ait % kimyasal bileşim değerleri	6
2.3. Alünitin termal bozunma reaksiyonları ve sıcaklıklar..	7
2.4. Alünitten elde edilen ürünlerin fiziksel özellikleri ..	10
3.1. Leaching sürelerinin parçacık boyutu ile değişmesi	37
3.2. 1/1 mol oranında ilave edilen bileşiklerle birlikte kalsine edilen killerden, su ile alüminyum leachingine ait %Al verileri	40
4.1. Alünitten alüminyumun gözündürülmesinde incelenen değişimler	43
4.2. Asit türü ve derişiminin alünitten gözünen alüminyum miktarına (%) etkisi	44
4.3. KF/Al ₂ O ₃ mol oranının, alünitten gözünen alüminyum miktarına (%) etkisi	44
4.4. Asit derişiminin, KF'süz ve KF'lu (KF/Al ₂ O ₃ =0,60) ortamda alünitten gözünen alüminyum miktarına (%) etkisi ...	45
4.5. Kalsinasyon sıcaklığının alünitten gözünen alüminyum miktarına (%) etkisi	45
4.6. Kalsinasyon süresinin alünitten gözünen alüminyum miktarına (%) etkisi	46
4.7. Reaksiyon sıcaklığının alünitten gözünen alüminyum miktarına (%) etkisi	46
4.8. Farklı şartlarda hazırlanan alünitten gözündürilen alüminyum miktarı (%)	47
4.9. 650°C sıcaklıkta 60 dk kalsine edilen alünitin HCl ve H ₂ SO ₄ çözeltilerinde, (95±5)°C reaksiyon sıcaklığında gerçekleştirilen leaching reaksiyon hız sabitlerinin ortamındaki KF miktarı ile değişimini	48
4.10. 800°C sıcaklıkta farklı sürelerde kalsine edilen alünitin KF'lu (KF/Al ₂ O ₃ =0,60) HCl ve H ₂ SO ₄ çözeltilerinde, (95±5)°C reaksiyon sıcaklığında gerçekleştirilen leaching reaksiyon hız sabitlerinin alünitin kalsinasyon	54

GİZELGELER DİZİNİ (devam)

<u>Cizelge</u>	<u>Sayfa</u>
süresi ile değişimi	54
4.11. 650°C sıcaklıkta 60dk kalsine edilen alünitin KF'süz ve KF'lü ($\text{KF}/\text{Al}_2\text{O}_3 = 0,60$) HCl ve H_2SO_4 çözeltilerinde, $(95 \pm 5)^{\circ}\text{C}$ reaksiyon sıcaklığında gerçekleştirilen leaching reaksiyon hız sabitlerinin asit çözeltilerinin değişimleri ile değişimi	54
4.12. Parklı sıcaklıklarda 60dk kalsine edilen alünit ve (Alünit+KF) karışımının KF'lü ve KF'süz HCl ve H_2SO_4 çözeltilerinde, $(95 \pm 5)^{\circ}\text{C}$ reaksiyon sıcaklığında gerçek- leştirilen leaching reaksiyon hız sabitlerinin kalsi- nasyon sıcaklığı ile değişimi	54
4.13. Leaching reaksiyon hız sabitlerinin reaksiyon sıcaklığı ile değişimi	55
4.14. Alünitteki alüminyumun leaching reaksiyonuna ait hesap- lanan, gözlenen aktivasyon enerjileri	57
4.15. $k_{\text{göz.}} = k' C^n$ denklemine göre KF'lü (n_2) ve KF'süz (n_1) ortam için hesaplanan n değerleri	62

SİMGELER VE KİSALTMALAR DİZİNİ

<u>Simgeler</u>	<u>Açıklama</u>
A	Arrhenius sabiti, s^{-1} , st^{-1}
A	Katı parçacığın yüzey alanı, cm^2
b, b'	Sabit, sırasıyla birimsiz ve cm/mol
C	t anında sıvı reaktif derişimi, mol/lt
c_b	Gözelti fazındaki sıvı reaktif derişimi, mol/lt
c_o	Reaksiyon başlangıcında sıvı reaktif derişimi, mol/lt .
c_s	Katı parçacık yüzeyinde sıvı reaktif derişimi, mol/lt
c'_s	Katı parçacıkta reaksiyona girmemiş kısım yüzeyinde sıvı reaktif derişimi, mol/lt
D	Diffüzyon katsayısı, cm^2/s
D'	Ürün katmanı içindeki etkin diffüzyon katsayısı, cm^2/s
D_s	Sıvı sınır katmanı içindeki diffüzyon katsayısı, cm^2/s
Ea	Aktivasyon enerjisi, $kcal/mol.s$
h_o	Silindirik ve iğnemsi geometriye sahip katı parçacığın kalınlığı, cm
J	Molar ortalama hızla göreli molar ağı, $mol/cm^2.s$
K	Denge sabiti
k'	Yüzey reaksiyon hız sabiti, $lt/mol.s$
$k_{göz.}$	Gözlenen reaksiyon hız sabiti, s^{-1} , st^{-1}
k_1	Lineer hız sabiti, $lt/mol.s$

SİNGELER VE KISALTMALAR DİZİNİ (devam)

<u>Simgeler</u>	<u>Açıklama</u>
k_o	Katı parçacığın birim yüzeyinde reaksiyona girebilecek reaktif merkezlerin sayısı, mol/cm ²
k'_o	Yüzey reaksiyon hız sabiti, lt/cm ² s
k_p	Parabolik hız sabiti, mol lt/cm ² s
k_s	Yüzey reaksiyon hız sabiti, lt/cm ² s
k_T	Toplam reaksiyon hız sabiti, lt/cm ² s
M	Molekül ağırlığı, g/mol
n	Katı parçacıktaki katı reaktifin t anındaki mol sayısı, mol; Üstel sabit
n_o	Katı parçacıktaki katı reaktifin reaksiyon başlangıcındaki mol sayısı, mol
pH	Gözeltideki hidrojen iyonu molar derişiminin eksilogaritması
pOH	Gözeltideki hidroksit iyonu molar derişiminin eksilogaritması
R	İdeal gaz sabiti, 1,987 cal/mol°K
r	Katı parçacığın t anındaki yarıçapı, cm
r_o	Katı parçacığın reaksiyon başlangıcındaki yarıçapı, cm
T	Sıcaklık, °C, °K
t	Zaman, s, st
V	Molar hacim, cm ³ /mol

SİMGELER VE KİSALTMALAR DİZİNİ (devam)

Simgeler Açıklama

Yunan Alfabesi

α	Reaksiyona giren miktarın kesri
ΔX	Sıvı sınır katman kalınlığı, cm
δ	Limit sıvı sınır katman kalınlığı, cm
γ	Stokiyometrik katsayı
ρ	Katı reaktifin yoğunluğu, g/cm ³

Kisaltmalar

\AA°	Angström
ABD	Amerika Birleşik Devletleri
A.Ş.	Anonim Şirketi
Be'	Baume derecesi
Bkz.	Bakınız
cal	Kalori
çöz.	Gözeltili
DTA	Differansiyel termik analiz
dk	Dakika
et al.	Ve diğerleri (yabancı kaynaklara ait)
g	Gram
göz.	Gözlenen
k	Katı
Kcal	Kilokalori
M	Molarite
mlt	Mililitre
mm	Milimetre
mmol	Milimol
N	Normalite
NPK	Azot, fosfor, potas bileşimli gübre
st	Saat

SİNGELER VE KISALTMALAR DİZİNİ (devam)

<u>Kısaltmalar</u>	<u>Açıklama</u>
TGA	Termogravimetrik analiz
USSR	Sovyet Sosyalist Cumhuriyetleri Birliği
vd.	Ve diğerleri
[]	Molarite

1. GİRİŞ

Doğal şap taşı olarak bilinen alünit, $\text{KAl}_3(\text{SO}_4)_2(\text{OH})_6$ kimyasal formülüne sahip olan, genellikle hezagonal sisteme kristalleşen jarosit mineral grubundan bir mineraldir (Gülenç, 1968).

Dünyadaki öneşti alünit yatakları Ussr, Çin, Kore, Japonya, Hindistan, İtalya, ABD, Avustralya gibi ülkelerde toplanmış durmaktadır. Ülkemizde başlıca yatakları Giresun-Çebinkarahisar (15-20 milyon ton), Kütahya-Sephane (7 milyon ton), İzmir-Koça (4 milyon ton) bölgeleri olmak üzere üç bölgede toplanmıştır (Kimya Sekktör Araştırması, 1980; Apaydın ve Urasancı, 1981).

Alünit minerali uzun yillardan beri şap üretiminde kullanılmıştır. Sonradan alünit; yapısında alüminyum ve potasyum bulunurması nedeniyle alüminyum sülfat, alümina, sülfürik asit, karışık NPK gübre, cimento, seramik üretiminde kullanılması üzerine çok sayıda araştırmalar yapılmıştır (Gülenç, 1971; Norton, 1974).

Özjel halde suda ve asit çözeltilerinde gözünmeyen alünit, 500°C'ının üzerindeki sıcaklıklarda kalsine edildiğinde suda ve sülfürik asit çözeltilerinde gözünmektedir (Gülenç, 1968). 500-1200°C sıcaklık aralığında farklı sürelerde kalsine edilen alünitten, kalsinasyon sıcaklığı ve süresine bağlı olarak değişik ürünler elde etmek mümkündür (Ting, 1952).

Günümüzde yaygın kullanım alanlarına sahip olan alüminyum üretiminin başlangıç maddesi olan alüminanın büyük bir kısmı boksit cevherlerinden Bayer metodu ile üretilmektedir. Dünyada boksit yataklarının tükenebileceği düşüncesi ve boksit yataklarına sahip olmayan ülkelerin bulunması nedeniyle araştırmalar kaolen, alünit, lösit, muskovit gibi alümina içeren diğer cevherlerden alüminyum üretimi üzerine yönlendirilmiştir (Genç, 1989).

700-800°C sıcaklık aralığında kalsine edilen Kore alünit 50,9 Be'lik sülfürik asit ile %95 Al_2O_3 gözündürmüştür (Yamazaki, 1926). 200 mesh boyutundaki Kore alünit %85'lik sülfürik asit ile 200°C'de 1 saat kalsine edilmiş ve sonra su ile gözündürülerek %97'den daha büyük bir verimle alüminyum gözündürmüştür (Shin and Kim, 1979). 800°C'de kalsine edilen alünit, su ile gözündürülüğünde

18 ve 0,2N sülfürik asit ile çözündürildüğünde %15 verimle alüminyum çözündürilmüştür (Wadsworth and Miller, 1979). 600°C 'de 60dk kalsına edilen Saphane alünitinden hacimce 1/l'lik sülfürik asit çözeltisi ile %98 verimle alüminyum çözündürilmüştür (Gedikbey, 1985). 375°C sıcaklıkta amonyum sulfatın alünite oranı 9 olacak şekilde amonyum sulfat ilavesi ile kalsına edilen alünitten, su ile %96,3 verimle alüminyum çözündürilmüştür (Lee, et al., 1983).

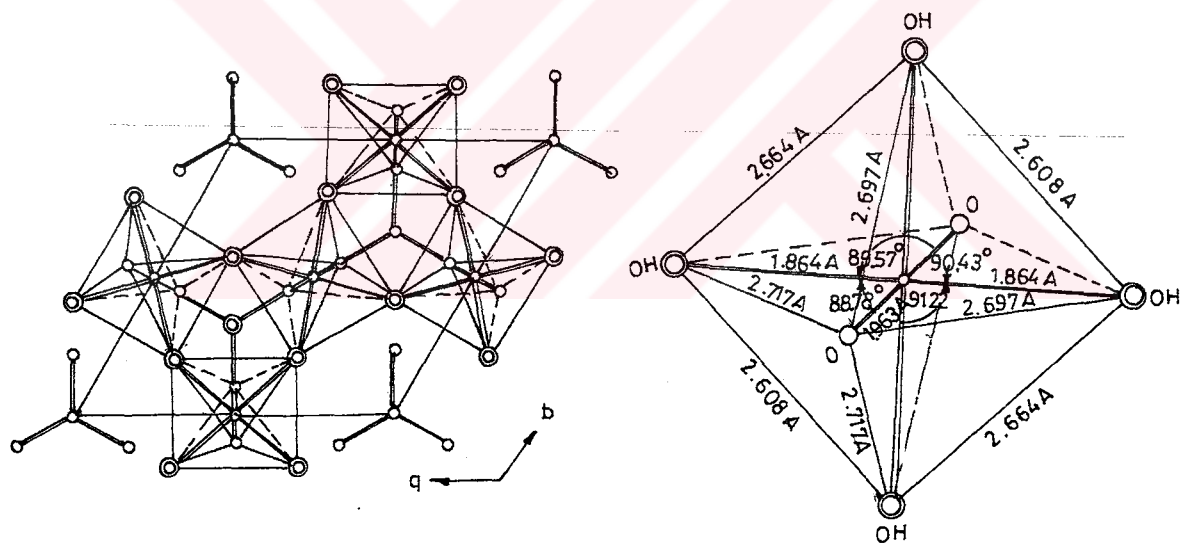
Bu çalışmada, alünit cevherlerinden alüminyumun asidik ortanda leaching reaksiyon kinetiğinin incelenmesi amacıyla; hidroklorik asit ve sülfürik asit çözeltileri kullanılarak, Saphane alünitinden alüminyumun çözündürülmesi, KF/ Al_2O_3 mol oranı, kalsinasyon sıcaklığı, kalsinasyon süresi, reaksiyon sıcaklığı ve (Alünit-KF) karışımının birlikte kalsinasyonu gibi parametreler değiştirilerek araştırılmıştır.

2. ALÜHİT

2.1. Alühitin Kristal Yapısı

Doğada alühit genellikle hezagonal ya da kristalleşir. Seyrek olarak pseödoctaedral kristalleşme olur. Bazı oluşumlarda alühitin, romboedral yanılışmış, kolosal veya kolloformik tanelerde kristallendiğine de rastlanılmaktadır (Gülensoy ve Şençil, 1989).

İlk defa Hendricks, alühitin kristal yapısını analiz ederek, romboedral olduğunu; Pabst ise, alühitin hezagonal hücre boyutlarını belirlemiştir. X-ışını diffaksiyonu ile, daha önce belirlenmiş olan bağı uzunlukları ve bağ açıları düzelttilerek alühitin kristal boyutları belirlenmiştir. Bugün kabul gören alühitin bağ uzunlukları ve açıları Çizelge 2.1'de verilmiştir (Wang, et al., 1964).



Sekil 2.1(a) Alühitin polihedra koordinasyonu .

(b) Alüminyum oktaedronunda bağ uzunlukları ve açıları .

2.2. Alühitin Fiziksel Ve Kimyasal Özellikleri

Alühitin kimyasal formülü $KAl_3(SO_4)_2(OH)_6$ şeklinde ifade edilebilir. Alühit minerali, bileşim ve yapı bakımından, $AB_3(XO_4)_2(OH)_6$ genel formülüyle gösterilen jarosit mineral grubunun sadece bir tanesidir.

Alühit doğada K veya Na bulunduran yapıda veya ikisinin izomorfik karışımı halinde bulunur. Potasyum alühitinin teorik bileşimi

Çizelge 2.1. Alünitteki bağ uzunlukları ve açıları

Bağ Uzunlukları (\AA)		a	b
Tetrahedra			
1	S-O(1)	1,52	1,406
3	S-O(2)	1,51	1,477
3	O(1)-O(2)	2,49	2,354
3	O(2)-O(2')	2,47	2,412
Oktahedra			
2	Al-O(2)	1,98	1,963
4	Al-OH	2,05	1,864
4	O(2')-OH	3,08	2,717
4	O(2'')-OH	2,59	2,697
2	OH-OH'	2,64	2,664
2	OH'-OH''	3,13	2,608
Potasyum çevresinde			
3	K-O(2)	2,79	2,821
3	O(2)-O(2')	4,49	4,558
6	K-OH	2,84	2,871
3	OH-OH'	3,13	2,608
	Al---S	3,13	3,097
	Al---K	3,52	3,512
Hidrojen bağı	H-OH---O	2,52	2,96
Açılar (°)			
3	O(2)-S-O(2')	109	109,49°

(a) Hendrick'in bulduğu sonuçlar.

(b) Wang'in bulduğu sonuçlar.

Çizelge 2.1. (devam)

3	O(2)-S-O(1)	109	109,45
4	O(2)-Al-OH	100	90,43
4	O(2)-Al-OH	80	89,57
2	OH-Al-OH'	80	91,22
2	OH'-Al-OH''	100	88,78
	S-O(2)-Al	126	127,84

%10,62 K₂O, %36,8 Al₂O₃, %39,00 SO₃, %13,55 H₂O, %0,02 Fe₂O₃ şeklindedir.

Doğada alünit minerali, çoğu zaman keolen ve kil ile birlikte masif trakit kayaların düzensiz damarlarında bulunduğundan doğal mineralinin bileşimi, orijinine bağlı olarak değişebilmektedir (Çizelge 2,2). Orijinine bağlı olarak alünit bileşiminde Mn, Pb, Ga, Ti, V, Cu, Ca, Cr, Ba ve Ni gibi elementler eser miktarlarda bulunabilmektedir (Gülensoy, 1968; Gülensoy ve Şengil, 1989).

Saflik derecesine göre alünit; grimsi beyaz, sarımtırak ve kırmızımsı renklerde olabilmektedir. Yoğunluğu 2,6-2,8 g/cm³, sertliği 3,5-4 Mohs, bölünüm sertliği 0,001, kırılma indisi ise 1,56-1,61 dir (Bozkurt, 1985). Orijinal halde suda ve asit çözeltilerinde çözünmeyen alünit, 500°C'nin üzerindeki sıcaklıklarda kalsine edildiğinde suda ve sülfürik asit çözeltilerinde çözülmektedir (Gülensoy, 1968).

2.3. Alünitin Termal Bozunması

Differansiyel Termik Analiz (DTA) ve Termogravimetrik Analiz (TGA) çalışmalarları ile alünitin termal bozunması incelenmiştir.

Orijini farklı olan alünitlerin termal bozunması, kimyasal bileşime bağlı olarak değişiklik göstermektedir. Alünitin termal bozunma reaksiyonları ve bu reaksiyonların gerçekleştiği sıcaklıklar Çizelge 2,3'de verilmiştir (Bayliss and Koch, 1955; Gülensoy, 1968).

Çizelge 2.2. Darklı orijinli alüminit mineralerine ait % klimyasal bilesim değerleri (Güllensoy ve Şengil, 1989)

No	Al ₂ O ₃	Fe ₂ O ₃	K ₂ O	Na ₂ O	SO ₃	SiO ₂	H ₂ O	P ₂ O ₅	Dünger
1	34,85	0,60	10	0,37	37,80	1,07	12,53	2,55	-
2	18,07	1,60	3,67	0,83	17,32	46,11	3,46	-	1,23
3	18,50	-	4,72	0,60	18,40	51,20	6,58	-	-
4	37,95	0,65	7,44	0,40	38,36	1,20	12,72	-	0,55
5	37,00	-	11,27	-	38,45	0,23	13,05	-	-
6	36,51	0,05	6,73	0,92	38,30	0,06	16,39	0,40	0,63
7	33,65	0,57	8,64	0,36	28,86	18,00	10,00	-	0,22
8	36,77	-	10,20	0,94	38,05	1,04	13,00	-	-
9	20,71	1,35	3,07	-	13,29	54,63	6,95	-	-
10	36,07	0,63	4,30	3,51	36,80	2,57	15,26	-	0,39
11	39,58	0,62	4,18	-	14,23	19,99	22,93	-	0,30
12	37,80	0,12	3,06	-	27,44	0,66	27,80	-	0,08
13	35,29	0,73	9,72	-	37,46	1,37	13,42	1,26	0,75
14	30,70	0,90	6,30	0,54	35,00	12,00	13,60	-	0,96
15	26,51	-	5,30	1,57	25,49	29,34	11,79	-	-
16	26,83	0,43	6,95	0,60	24,47	32,20	8,54	-	-
17	18,21	0,81	3,23	-	13,73	56,96	7,07	-	-

1. Chatkal ve Kurama (USSR), 2. Ermenistan (USSR), 3. Leregov (USSR),
 4. Arman Nehri (USSR), 5. Began (USSR), 6. Khairdorkan (USSR),
 7. Pingyang (ÇİN), 8. Pegam (KORE), 9. Okmai San (KORE), 10. Tolfa
 (İTALYA), 11. Nyirad (MACARİSTAN), 12. Mosszuharasztas (MACARİSTAN),
 13. Sovolusk (ÇEKOSLAVAKYA), 14. Aspen Dağı (ABD), 15. Bahia
 Camarones (ARJANTİN), 16. Gedehor (ŞEBINKARAHİSAR), 17. Şaphane
 (KÜTAHYA).

Çizelge 2.3. Alünitin termal bozunma reaksiyonları ve sıcaklıklarını

No	Sıcaklık (°C)	Reaksiyon	Bileşim
a	500-700	(I) $2\text{KAl}_3(\text{SO}_4)_2(\text{OH})_6 \rightarrow 2\text{KAl}(\text{SO}_4)_2 + 2\text{Al}_2\text{O}_3 + 6\text{H}_2\text{O}$	Susuz şap
	800	(II) $2\text{KAl}(\text{SO}_4)_2 \rightarrow \text{K}_2\text{SO}_4 + \text{Al}_2\text{O}_3 + 3\text{SO}_3$	Potasyum sülfat α-alümina
	1400		Potasyum alüminat
b	430-575	(I)	Susuz şap
	575-800	(II)	Potasyum sülfat α-alümina
c	550-600	(I)	Susuz şap
	820-870	(II)	Potasyum sülfat α-alümina
d	430-640	(I)	Susuz şap α-kuvartz γ-alümina

Çizelge 2.3. (devam)

No	Sıcaklık (°C)	Reaksiyon	Bileşim
a	680-740	$\gamma\text{Al}_2\text{O}_3 \rightarrow \alpha\text{Al}_2\text{O}_3$	Susuz sap α -kuvarz γ -alümina
	740-860	(II)	Mullite Galoeserite α -kuvarz γ -alümina Potasyum sülfat
	1000	$\text{K}_2\text{SO}_4 \cdot \text{Al}_2\text{O}_3 \cdot \text{SiO}_2$ bozunması	Mullite Galoeserite α -kuvarz γ -alümina
e	300-400	-	Alünit
	480-600 ¹	(I) $\text{K}_2\text{SO}_4 \cdot \text{Al}_2(\text{SO}_4)_3 \cdot 4\text{Al}(\text{OH})_3$ $\longrightarrow \text{K}_2\text{SO}_4 \cdot \text{Al}_2(\text{SO}_4)_3 + 2\text{Al}_2\text{O}_3 + 6\text{H}_2\text{O}$	Susuz sap
	480-590 ²		Alümina
	600-700	(III) $\text{K}_2\text{SO}_4 \cdot \text{Al}_2(\text{SO}_4)_3 \rightarrow \text{K}_2\text{SO}_4 + \text{Al}_2\text{O}_3 + 3\text{SO}_3$	Potasyum sülfat Alümina
	745-855 ¹	(II)	Potasyum sülfat Alümina
	750-850 ²		
	1150-1200 ¹	$\text{K}_2\text{SO}_4 \rightarrow \text{K}_2\text{O} + \text{SO}_3$	Potasyum oksit
	1110-1240 ²	$\text{SO}_3 \rightarrow \text{SO}_2 + 1/2\text{O}_2$	Alümina

(a) (Fink, et al., 1931), (b) (Ogburn and Stere, 1932),
 (c) (Knizek and Fetter, 1947), (d) (Bayliss and Koch, 1955),
 (e) (Gülensoy, 1968).

(1) Gebinkarahisar numunesi, (2) Saphane numunesi.

1000 °C'ye kadar uygulanan DTA grafiklerinde bir ekzotermik ve iki endotermik pikin ortaya çıktığı tespit edilmiştir. Endotermik piklerden birincisi, 490-550 °C'de alünitten suyun ayrılip, şap ve γ -alümina oluşmasına aittir. İkinci endotermik pik ise, 760-820 °C'de alüminyum sülfatın, alümina ve üç mol kükürttriokside bozunmasına aittir. 735-740 °C'de γ -alüminanın α -alüminaya dönüşmesiyle oluşan ekzotermik pik, hassas çalışmalarda görülmektedir (Gülensoy ve Şengil, 1989).

2.4. Alünit Cevherinden Elde Edilen Ürünler

Alünit cevherinden elde edilen ürünler; şap, alüminyum sülfat, potasyum sülfat ve alümina olmak üzere dört grupta toplanabilir. Bu ürünlerin fiziksel özellikleri Çizelge 2.4'de verilmiştir.

2.4.1. Şap

Genel formülü $A_2(SO_4)_3 \cdot 24H_2O$ şeklinde olan şapların birçok türleri vardır. A yerine potasyum, sodyum, amonyum, rubidyum ve sezyum, B yerine alüminyum, krom, demir elementleri bulunan şaplar, en çok üretilen şaplardır. Bunların içinden $K_2SO_4 \cdot Al_2(SO_4)_3 \cdot 24H_2O$ formülü ile gösterilen potas şapı, eski çağlardan beri alünitten elde edildiğinden en yaygın kullanılıanıdır. Şap yapısında tek yüklü katyon yerine çift yüklü katyon bulunduran $FeSO_4 \cdot Al_2(SO_4)_3 \cdot 24H_2O$ gibi çift sülfatlar, yalancı şapları oluşturur. Ayrıca sülfat yerine selenat bulunduran selenat şapları, şap türlerinin sayısını artırırlar.

Alkali metal şaplar renksiz olmalarına rağmen demirli şaplar pembe veya gül renginde, kromlu şaplar ise mor renktedirler. Şaplar, 37 °C'de kendi kristal suyunda çözünmeye başlar ve 100 °C'de kristal sularını kaybederler. Talyumlu ve demirli şaplar ise 117 °C'de kristal sularını kaybederler.

Başlıca doğal şap mineralleri alüminit, alünojen, potas şapı, germijit, mendozit ve alühittir. Bunların içinde alünit, suda çözünmeyigidinden ek ekonomik doğal şap yataklarını oluşturur. Sülfürik asitin şap üretiminde kullanılmasıyla; boksit, kil, löosit ve bunlara benzer mineraller ile alümina ve alüminyum hidroksit şap

Çizelge 2.4. Alüminitten elde edilen ürünlülerin fiziksel özelliklerini (Lidey and Grubitt, 1972)

Özellik	Şap	Alüminyum sulfat	Potasyum sulfat	Alüminium alüminat	Korendon
Formüll	$\text{Al}_2(\text{SO}_4)_3$	$\text{Al}_2(\text{SO}_4)_3$	K_2SO_4	Al_2O_3	Al_2O_3
Mol ağırlık	943,76	342,12	174,25	101,94	101,94
Renk	Fenkisiz	Beyaz	Fenkisiz	Renksiz	Beyaz
Kristal şekli	Monoklinik	Kristal	Rombik	Heptagonal	Triagonal
Kırılma indisi	1,4564	-	1,4947	1,67-8	1,768
Yoğunluğu (gr/cm ³)	$1,76^{26}/4$	2,71	2,662	3,99	4,00
Eritme noktası °C	92	770	588	1999-2032	1999-2032
Kaynama noktası °C	-18	H_2O 64,5	-	-	2210
Söğük suda gözüne	5,7°	$31,3^0$	$7,35^0$	Gözünmez	Gözünmez
Sıcak suda gözüne	83°	89 100°	24,1 100°	Gözünmez	Gözünmez

üretiminde hammadde olarak kullanılmaya başlanmıştır. Şap yerine alüminyum sülfatın kullanılmaya başlanmasıyla da boksit ve alüminadan başlayan üretim yöntemi önem kazanmaktadır.

İlk şap üretiminin Foça-İzmir yöresinde olduğu kabul edilmektedir. Suriyelilerin tekelinde olan üretim, 1275 yılından sonra Cenevizlilerin eline geçmiştir. Tarihi kayıtlara göre 15.Yüzyılda Akdenizli Türk tüccarları şapı, boyayı kumaşa tesbit edici madde olarak kullanmışlardır. Daha sonra şap üretimi İtalya'ya, İngiltere'ye yayılmıştır. 1845 yılında İngiltere'de şap üretiminde ilk defa şaplı sist yerine alüminyumlu kil kullanılmaya başlanmıştır. Killер ısıtılarak, sülfürik asit ile çözündürüldükten sonra kristalizasyon ile şap elde ediliyordu.

İtalya'da potasyumlu şap; kırmızı, eleme, manyetik ayırıcıılarda ayırma işlemlerinden sonra lösitin ($KAlSi_2O_6$) sülfürik asit ile çözündürülmesi ve çözeltideki şapın kristallendirilmesi ile üretilmektedir.

Batı Ülkelerinde, özellikle ABD'de şap, boksit veya kilin sülfat asidinde çözündürülmesi, gerekirse potasyum sülfat katılıp elde edilen çözeltinin kristalizasyonu ile üretilmektedir.

Bugüne kadar alünitten şap üretiminde iki yöntem kullanılmıştır. Bugün terk edilmiş olan birinci yöntemde; alünit $500-750^{\circ}C$ 'de kalsine edilerek potas şapına ve alüminaya bozundurulmaktadır. Böylece sülfürik asit kullanılmadığında, şapa dönüşebilecek bir miktar alüminyum oksit artıkta kalmaktadır. İkinci yöntemde; kalsine edilen alünit, öğütüldükten sonra sülfürik asit ile çözündürülür. Elde edilen çözelti süzülür, buharlaştırılarak şapın kristalleşmesi sağlanmaktadır.

Türkiye'de boksit, kaolen, kil, lösit, mika kırıntısı ve alünit gibi şap hammaddeleri bol miktarda bulunmaktadır. Ülkemizdeki boksit yataklarının demir oksit oranı yüksek olduğundan, boksitten şap üretimi yapılmamaktadır. Şap üretimi için boksit ve alünit hariç diğer hammaddeler kalite ve miktar bakımından yeterince incelenmemiştir.

Türkiye'de şap, Dostel Firması tarafından, 1975'den beri Saphane'

deki alünit cevherinden üretilmektedir. Geneli ve çekiçli kırıcıdan geçirilerek belli boyuta gelen cevher, tablalı bir fırında 680-720°C'de 30 dk kalsine edilip, 80°C'ye soğutulur. Soğutulan cevher bilyali bir değirmende 40-60 meshe kadar öğütülmekte ve 80-90°C'deki reaktörde yaklaşık %2,5 lik sülfürik asit çözeltisiyle reaksiyona sokulur. Reaksiyon sonunda silisyumdioksit göktürülür ve süzülerek çözeltiden ayrılır. Çözeltideki şap, santrifüjlerde hava akımıyla kristallendirilmektedir.

Şap; eczacılıkta birçok ilaçın yapımında, tekstil endüstrisinde boyaların tesbitinde ve su geçirmez kumaş üretiminde, kağıt sanayiinde kağıt hamurunun zamkanmasında, suların tasfiyesinde, deri sanayiinde tabaklamada, tipta kanamayı önlemede, çelik üzerine yazı yazmada, renk ve koku gidermede, boyacı, lakk, vernik, mayalama ve kabartma tozu, sabit kalemler, mürekkep, ozalit ve benzeri kağıtların, yanın söndürme aletleri ve ştük yapımında kullanılmaktadır (Kimya Sektör Araştırması, 1980; Gengil ve Gülensoy, 1984).

2.4.2. Alüminyum Sülfat

$\text{Al}_2(\text{SO}_4)_3 \cdot n\text{H}_2\text{O}$ formülündeki alüminyum sülfatta kristal su, 14 mol ile 18 mol arasında değişir. Alüminyum sülfat, havadan nem geçen bir maddedir. Alüminyum sülfat ısıtılrsa önce kristal suyunu kaybeder ve 700-800°C'de kükürt triksit ve alüminaya dönüşerek bozunmaktadır. Doğal alüminyum sülfat hammaddeleri; boksit, kaolen, kil, löosit ve alünittir.

Dünyada uygulanan en geliştirilmiş alüminyum sülfat üretim yöntemi, Dorr yöntemidir. Bu yöntem ile alüminyum sülfat üretiminde; saf, demirsiz veya demir bileşeni az olan boksit kullanılmaktadır. 200 mesh'e kadar öğütülen boksit, sıcak buhar yardımı ile ısıtılan karıştırıcılı, kurşun kaplı çelik teknelerde sülfürik asit ile reaksiyona sokulur. Karışım; son tekneye baryum sülfür katılması ile gökelen demirden ayrılmak üzere seri halde çalışan dekantörlere gönderilir. Artıklardan temizlenmiş alüminyum sülfat çözeltisi, açık buhar kazanlarında 35 Be'den 62 Be'ye kadar derişiklestirilir. Derişiklestirilen çözelti, kristallendirilmek üzere yayvan kaplara gönderilir.

Boksitten alüminyum üretiminde ara ürünler olan alümina ve ya alüminyum hidroksit kullanılarak; Dorr yöntemine benzer yöntem ile alüminyum sülfat üretilmektedir. Bu yöntemin Dorr yönteminden farkı; alümina ve alüminyum hidroksitte safsızlık olarak demir bulunmadığından baryum sülfür kullanılmamasıdır.

Alüminyum sülfat üretiminde, %55 ve daha fazla oranda alümina, %8'den daha az oranda silis ve çok az oranda demir bulunduran boksit kullanılır. İkinci Dünya Savaşı'ndan sonra alümina oranı düşük, demir oranı yüksek ve yaklaşık %8-15 oranında silis bulunduran boksit cevherinden alümina ve alümina kullanılarak da alüminyum sülfat üretilmiştir (Coşkuner, 1978).

Türkiye'de alüminyum sülfat; şap ile birlikte Dostel Firması tarafından 1975'den beri üretilmektedir. Alüminyum sülfat; şap kristallendikten sonra geriye kalan gözelti derişiklestirilerek üretilmektedir (Şengil ve Gülensoy, 1984).

KIMSA Alüminyum Sülfat Tesisleri'nde 1977 yılında ve ETİBANK Seydişehir Alüminyum Sülfat Tesislerinde 1979 yılında alüminyum sülfat üretimine başlanılmıştır. Bu fabrikalarda alüminyum sülfat üretimi şu şekilde gerçekleştirilmektedir: Seyretilmiş alüminyum hidroksit ve sülfürik asit karıştırıcılı üç reaktöre beslenir ve reaksiyonun tamamlanması için karışım, reaktörlerde 110°C'de 2 saat bekletilir. Reaktörlerden karışım, tavalarla alınmakta ve alüminyum sülfat kristallendirilmektedir (Kimya Sektör Araştırması, 1980).

Alüminyum sülfat; hidrolizi sonucu oluşan alüminyum hidroksitin çökmesi sırasında suya bulanıklık veren maddeleri de sürükleyerek göktürmesi nedeni ile suların tasfiyesinde, yağ endüstrisi gibi bazı endüstrilerde koku ve renk gidermede kullanılmaktadır. Kağıt endüstrisinde; kağıdın su ve mürekkep absorpsiyonuna karşı yüzeyin hazırlanmasında kullanılmaktadır. Ayrıca alüminyum sülfat, anti-septik ve bazı kabartma tozlarının yapımında, saf alüminyum tuzlarının üretiminde, sabunlu gözeltilerden sabunun ayrılmasında kullanılmaktadır (Mete ve Kayınova, 1984).

2.4.3. Potasyum sülfat

Potasyum sülfat üretiminde potasyum klorür, kainit ($KCl \cdot MgSO_4 \cdot 2,75 H_2O$), kieserit ($MgSO_4 \cdot H_2O$), schoenit ($K_2SO_4 \cdot MgSO_4 \cdot 6H_2O$), langbaynit ($K_2SO_4 \cdot 2MgSO_4$) ve alünit gibi hammaddeler kullanılmaktadır.

Dünya potasyum sülfat üretiminin yaklaşık yarısı, schoenit ($K_2SO_4 \cdot MgSO_4 \cdot 6H_2O$) veya langbaynit ($K_2SO_4 \cdot 2MgSO_4$) çift tuzlarının potasyum klorür ile reaksiyona sokulması sonucunda üretilir (Greer, et al., 1982).

Alünitten potasyum sülfat üretimine ait çalışmalar; asidik çözünürleştirme, bazik çözünürlestirme, indirgen atmosferde bozundurma, alkali metal sülfür ve kömür eritişi, sodyum klorür veya potasyum klorür ile kalsinasyon gibi metodlara dayanmaktadır (Gülensoy ve Şengil, 1989).

Borik asit ile $1000^{\circ}C$ 'de kalsine edilen alünit cevherinin yüksek sıcaklık ve basınc altında su ile çözündürülmesi ve $850^{\circ}C$ 'de kalsine edilen cevherin potasyum tuzu çözeltisi ile çözündürülmesi ile de potasyum sülfat üretilmektedir (Koster, et al., 1939; Cairns, 1948). $900^{\circ}C$ 'de kalsiyum karbonat ile kalsine edilen $\%7-11 K_2O$ bulunduran alünit cevheri, su ile çözündürülerek potasyum sülfat alınır. Süzüntü amonyak ile doyurulur. Böylece bileşiminde $\%8,6-9,7 K_2O$ ve $\%18-22 N$ bulunduran gübre elde edilir (Nagai and Harada, 1933 Liu, 1937).

Ülkemizdeki alünitlerden potasyum sülfat üretimine ait çalışmalar ise şöyledir: $950^{\circ}C$ 'de 12 saat kalsine edilen alünitin, suda çözündürülmesiyle $\%92$ verimle potasyum sülfat ve geride kalan karışımın sülfürik asit ile çözündürülmesi ile $\%96,5$ verimle alüminyum sülfat üretilmiştir (Gülensoy, 1971).

Alünit-potasyum klorür karışımının $750^{\circ}C$ 'de, Alünit-sodyum klorür karışımının $700^{\circ}C$ 'de ve Alünit-potasyum florür karışımının $600^{\circ}C$ 'de kalsine edilip su ile, geride kalan karışımın hidroklorik asit ile çözündürülmesiyle sırasıyla $\%87,5$, $\%92$ ve $\%91$ verimlerle potasyum sülfat ve alümina üretilmiştir (Genç, 1989).

2.4.4. Alümina

Doğada saf halde bulunan alümina, korendon olarak bilinir. Alümina α ve γ olmak üzere iki kristal şekle sahiptir. Alüminyum hidroksitin 500°C 'ye kadar kalsinasyonu ile γ -alümina, 1000°C 'nin üzerinde kalsinasyonu ile α -alümina elde edilir. Yüksek sıcaklıkta kalsine edilmiş safsızlık bulunduran alüminanın kristal şekli β olarak gösterilir (Singer, 1963; Marsteller, 1978).

Alümina, alüminyum üretiminde başlangıç maddesi olarak kullanılır. Alümina üretiminde en önemli kaynak, boksit cevheridir. Boksit, diyaspor ($\text{Al}_2\text{O}_3 \cdot \text{H}_2\text{O}$), böhmít ($\text{Al}_2\text{O}_3 \cdot \text{H}_2\text{O}$), hidrargilit ($\text{Al}(\text{OH})_3$) ve alümojel ($\text{Al}_2\text{O}_3 \cdot \text{H}_2\text{O}$) minerallerinin bir karışımıdır. Ayrıca boksit, silis, demir oksitler ve titanyum dioksit ile birlikte bulunur (Aydoğan vd., 1980).

İlk ticari alümina üretimi 1988 yılında Karl Bayer tarafından gerçekleştirılmıştır. Bu yönteme göre alümina şu şekilde üretilmektedir: Boksit yüksek sıcaklık ve basınçta sodyum hidroksit ile çözündürülür. Oluşan sodyum alüminat süzülmerek ayrılır. Sodyum alüminat hidroliz ile alüminyum hidroksit ve sodyum hidroksite ayrılır. Alüminyum hidroksitin çökmesi için alüminyum hidrat ilave edilir. Göken karışım, kalsine edilerek alümina üretilir. Bu metodla elde edilen ürün $\%99,5 \text{ Al}_2\text{O}_3$ ve büyük bir kısmını Na_2O 'in oluşturduğu safsızlık bulundurur (Aydoğan vd., 1980).

Günümüzde alüminanın büyük bir kısmı, boksit cevherinden Bayer Metodu ile üretilmektedir. Bayer prosesi ile elde edilen ürünler, alüminyum hidrat, aktif alümina, levha alümina ve erimis alümina-dır. Boksitten üretilen alüminanın büyük bir kısmı alüminyum üretiminde kullanılmaktadır. Geriye kalan kısmı; aşındırıcı, seramik, refrakter, pigment üretiminde ve katalizör desteği olarak kullanılmaktadır (Singer, 1963; V.Vlack, 1964; Norton, 1974; Marsteller, 1978).

Alünit cevherinden de alümina üretilmektedir. Özellikle alüminyum eldesinde kullanılan alümina üretiminde; alünit cevheri üretimde uygun oranda alünit bulundurmmalıdır. Alünit oranı yeterli olmadığında; cevher, flotasyonla zenginleştirilir (L.Valdivieso, et al., 1986).

Alünit cevherinden alümina; $600-650^{\circ}\text{C}$ 'de kalsine edilen cevherin asidük çözünürüğünün ile elde edilen tuzların kalsinasyonu sonucunda üretilmektedir. Bu şekildeki üretim yerine; bazik gözünürleştirme, indirgen atmosferde bozunma, kömür ve alaklı metal sülfür eritişi, sodyum klorür-potasium klorür ile kalsinasyon gibi metodları kullanarak da alünit cevherinden alümina üretilmektedir (Gülenç ve Çengil, 1989).

3. LEACHING

Sıvı bir çözücü yardımı ile çözünen maddeyi, çözünmeyen bir katı ile yaptığı karışımından çözülerek uzaklaştırılmasına "leaching" denir (Smith, 1981).

Maden endüstrisi, leaching işlemini en çok kullanan endüstriyelidendir. Bakır minerallerinin sülfürik asit veya amonyak çözeltileri ile cevherlerinden seçimli olarak çözündürülmesi, altının sodyum siyanit çözeltileri ile cevherlerinden ayrılması gibi elde edilmesi istenen değerli bileşenlerin leaching'i sıkça kullanılan ayırma yöntemidir. Şekerin sıcak su ile şeker pancarından çözündürülmesi, bitkisel yağların organik çözüçüler ile soya fasulyesi ve pamuk çekirdeklerinden alınması, tanının su ile çeşitli ağaç kabuklarından çözündürülmesi ve birçok eczacılık ürünlerinin bitki kökleri ve yapraklarından alınması gibi endüstriyel prosesler de leaching temeline dayandırılmaktadır (Treybal, 1981).

Leaching prosesinin verimi, katı üzerine uygulanan kırma, öğütme ve kalsinasyon gibi ön işlemlere sıkıca bağlıdır. Katı içinde çözünebilen küçük parçacıklar, çözünmeyen kısım ile tamamen çevrilmiş olduğunda, kırma ve öğütme işlemleri ile leaching prosesi hızlandırılır. Bitkisel ve hayvansal dokular içindeki doğal ürünlerin en kısa zamanda çözünmemeyen kısımlardan ayırmak için, ilgili doğal maddeler ince dilimler haline getirilir. Böylece çözücü sıvı moleküllerinin, doku hücrelerine daha kısa zamanda ulaşmasını sağları. Çözünen madde, katı parçacık yüzeyinde tutunduğu durumlarda kırma ve öğütme gibi ön işlemlere gereksinim olmadan çözücü ile çözündürülebilir (Treybal, 1981).

Cözünmemeyen katı bir maddeyi, bileşenlerinden birini çözünebilecek yapıya dönüştürmek amacıyla kalsine edilmesi gerekebilir. Kalsinasyon, aşağıda sıralanan amaçlar için de leaching öncesi uygulanan bir ön işlemidir (Pehlke, 1973; Pickett, 1985).

- (1) Çözünebilecek safsızlıklarını buharlaştırarak uzaklaştırmak,
- (2) Çözünmesi istenmeyen bileşikleri, çözünmeyen yapıya dönüştürmek,
- (3) Çözücüün iç merkezlerine girebilmesi için, katıyı gözenekli

kilmak,

- (4) SO_3 gibi bazı endüstriyel gazların üretimini sağlamak,
- (5) Katı maddenin öğütülmesini kolaylaştırmak,

Leaching prosesi; kesikli, yarı kesikli, sürekli şartlar altında yapılabilir. Katı Üzerine sıvının damlatılması ve sıvı içeresine katının tamamen daldırılması şeklinde başlıca iki işletme teknigi kullanılır. Leaching prosesini etkileyen faktörler; parçacık boyutu, reaktif derişimi, sıcaklık, karıştırma hızı, bulamaç yoğunluğu, bulamaç viskozitesi gibi faktörlerdir (Treybal, 1981; Woodcock, 1985).

3.1. Leaching Reaksiyon Türleri

3.1.1. Su ile çözündürme

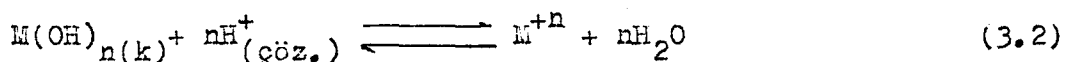
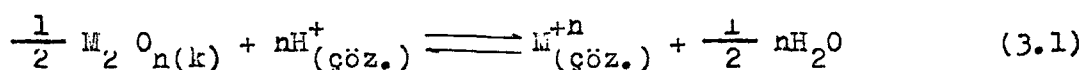
Bileşiklerin sulu ortamda çözünürlüklerinin farklı olmasından yararlanılır. Sulu ortamda çözünebilen bileşikler, çözünmeyen bileşiklerden su ile leaching uygulanarak çözeltiye alınır. Gözünen kısım, çözünmeyen kısından sızulerek ayrılırlar. Çözeltiye alınan bileşik, gerekirse kristalizasyon yöntemi ile saf bileşik haline dönüştürülür.

Su ile leaching proseslerinde, bileşiklerin çözünürlüklerinin sıcaklık ile değişimlerinden de yararlanılır. Bileşiklerin sudaki çözünürlüklerinin sıcaklıkla değişimi, çözünme entalpilerine bağlı olup, genel olarak hidratize olabilen bileşiklerin çözünürlüğü, hidratize olmayan bileşiklerin çözünürlüklerinden daha büyütür. Sıcaklık artışı ile hidratize olan bileşiklerin çözünürlüğü artarken, hidratize olmayan bileşiklerin çözünürlükleri ise azalmaktadır (Erdik ve Sarıkaya, 1984).

3.1.2. Oksit ve hidroksitlerin çözündürülmesi

Oksit veya hidroksit halindeki bileşiklerin bazıları suda çözündüğü halde, yoğunluğu az çözünür veya çözünmezler. Suda az çözünen veya çözünmeyen oksit veya hidroksitlerin asidik veya bazik çözeltilerde leaching yöntemi uygulanarak çözündürülmesi, yaygın uygulama proseslerindendir. Oksit veya hidroksitlerin asitli

ortamdan çözünmeleri, aşağıda verilen reaksiyon denklemlerine göre gerçekleşir.



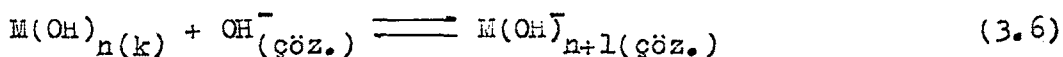
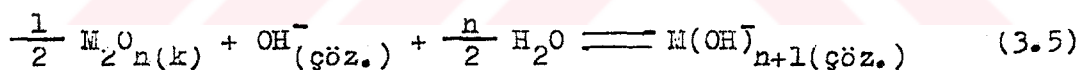
Cözünme reaksiyonuna ait denge sabiti,

$$K = \frac{[M^{+n}]}{[H^+]^n} \quad (3.3)$$

olup, çözünen metal miktarı,

$$\log [M^{+n}] = \log K - npH \quad (3.4)$$

denklemi gereği ortamın pH'ına bağlıdır. Oksit ve hidroksitlerin bazik ortamda çözünmeleri de aşağıdaki reaksiyon denklemlerine göre gerçekleşir.



$$K = \frac{[M(OH)_{n+1}^-]}{[OH^-]} \quad (3.7)$$

olup, çözünen metal miktarı,

$$\log [M(OH)_{n+1}^-] = \log K - pOH \quad (3.8)$$

veya

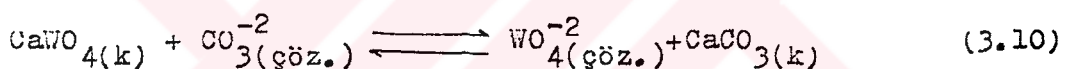
$$\log [M(OH)_{n+1}^-] = \log K - 14 + pH \quad (3.9)$$

denklemleri gereği ortamın pH'ına bağlıdır. Denklem 3.4'de ve Denk-

lem 3 9'da görüldüğü gibi çözündürme, ortamın pH değerinin artışı ile; metal katyon oluşturarak çözünen oksit ve hidroksitlerin çözünürlüğü azalırken, anyon oluşturarak çözünen oksit ve hidroksitlerin çözünürlüğü artmaktadır (Erdik ve Sarıkaya, 1984; Forward and Peters, 1985).

3.1.3. Katyon değiştirerek çözündürme

Alkali metal bileşikleri, çok çözünen bileşiklerdir. Doğal minerallerde çözünmeyen bileşikleri halinde bulunan grupların katyonları, alkali metal katyonları ile değiştirilerek çözünebilen bileşiklerine dönüştürülür. Doğal mineraldeki katyonun da çözünmeyen bileşik haline dönüştürülmesi sağlanır. Bu leaching prosesinde yaygın olarak alkali metal karbonatları ve sülfatları kullanılır. Schelite mineralinin sodyum karbonatla çözündürülmesi, bu tür proseslere güzel bir örnektir.



$$K = \frac{[\text{WO}_4^{2-}]}{[\text{CO}_3^{2-}]} \quad (3.11)$$

Reaksiyonun denge sabiti, Denklem 3,10 reaksiyonunun Gibbs serbest enerji değişimiinden yararlanarak hesaplanabilir (Forward and Peters, 1985).

3.1.4. Kompleks iyon oluşturarak çözündürme

Metallerin kompleks halindeki iyonlarının diğer bileşiklerinin çözünürlüklerinden daha fazla olmasından yararlanılır. Doğal mineraldeki metal bileşen, uygun bir kompleksleştirmeli gözelti ile çözündürülür. Kompleksleştirmeli olarak klorür, siyanür, rodanür, tiyosülfat, karbonat, amonyak ve suda çok çözünen bazı organik maddeler kullanılır. Çözünen metal miktarı, kompleksleştirmeli derişimine ve kompleksin ayrışma sabetine bağlıdır (Pehlke, 1973; Forward and Peters, 1985).

3.1.5. Yükseltgeme ve indirgeme ile gözündürme

Metal bileşiklerinin çözünürlüğünün, metalin yükseltgenme basamağına bağlı olarak değişmesinden yararlanılır. Doğal mineraldeki metal bileşen, uygun bir indirgen veya yükseltgen madde ile ortamda daha fazla çözünen yükseltgenme basamağına indirgenir veya yükseltgenir. Indirgenme veya yükseltgenme reaksiyonuna takiben, çözünme olayı gerçekleşir. Metalin çözünürlestirilmesi indirgen ve yükseltgen maddenin potansiyeline ve derişimine bağlıdır. Altın cevherinin siyanür çözeltisinde, uranit mineralinin karbonat çözeltisinde, çinko sülfürün asit çözeltisinde, bakır sülfürün ise amonyak çözeltisinde çözündürülmesi bu tür proseslerdir (Pehlke, 1973; Forward and Peters, 1985).

Bazı leaching proseslerinde, yukarıda belirtilen olaylardan birden fazlası gerçekleşebilir. Bu tür proseslerde çözünen metalin miktarı, herbir olayın etkinliği ile farklı boyutta etkilenecektir.

3.2. Leaching Prosesleri Kinetiği

Leaching prosesleri heterojen reaksiyonlardır. Heterojen reaksiyonlar iki veya daha fazla fazdan oluşan sistemlerde gerçekleşir. Gaz-sıvı, gaz-katı, katı-sıvı, sıvı-sıvı sistemlerinde oluşan heterojen reaksiyonların endüstride uygulamaları yaygındır. Leaching proseslerinin çoğunluğu katı-sıvı heterojen sistemlerinde gerçekleştiirmektedir. Heterojen reaksiyonların gerçekleşmesi reaktiflerin, ürünlerin, heterojen sistemin ve ortamın diğer özelliklerine bağlı olarak birden fazla basamak birbirini takip ederek tamamlanmaktadır. Heterojen reaksiyon basamaklarındaki olayları aşağıdaki gibi gruplandırmak mümkündür (Satterfield, 1980; Smith, 1981).

(I) Akışkan ortam ve katı parçacık dış yüzeyi arasında reaktif ve ürünlerin kütle transferi.

(II) Katı gözenekler içinde reaktif ve ürünlerin diffüzyon ile taşınması.

(III) Reaktif ve ürünlerin katı yüzey üzerinde adsorpsiyonu ve desorpsiyonu.

(IV) Katı yüzey ve akışkan ortamındaki reaktifler arasındaki kimya-

sal reaksiyon.

Leaching proseslerinde 3.grupdaki olayların dışındaki olaylar ile karşılaşılması yaygındır. Heterojen reaksiyonların hızı söz konusu olan her bir basamaktaki olayın hızı ile farklı boyutta etkilenebilmektedir. Net reaksiyon hızı bir veya birden fazla basamak hızı ile sınırlanmış olabilir. Aşağıdaki bölümlerde net reaksiyon hızını sınırlayan olaylara göre leaching reaksiyonları için kullanılan hız denklemleri verilmiştir.

3.2.1. Yüzey reaksiyonunun sınırlayıcı olması

Leaching proseslerinde farklı basamaklarda diffüzyon, adsorpsiyon olaylarının sınırlayıcı olmaması durumunda; hız sınırlayıcı basamak, yüzey reaksiyonudur. Leaching reaksiyonlarında genellikle kimsayal reaksiyonuna giren reaktiflerden biri katı fazda, diğerisi ise sıvı fazda yer almaktadır. Net reaksiyon hızı her iki fazdaki reaktife göre birinci mertebeden olması durumunda, reaksiyon hızı Denklem 3,12 ile verilir (Wadsworth and Miller, 1979).

$$-\frac{dn}{dt} = k' A k_o C \quad (3.12)$$

Denklemdeki k' yüzey reaksiyon hız sabiti, A katının yüzey alanı, k_o katı yüzeydeki reaktif derişimi, C çözelti fazındaki reaktif derişimidir. Katının yüzey alanı parçacıkların geometrik şecline, gözenekliliğine bağlıdır. k_o , katı parçacığın birim yüzeyinde reaksiyona girebilecek reaktif merkezlerin sayısı (yüzey derişimi) dir. Katı gözenekli değilse veya gözeneklilik faktörü reaksiyon süresince sabit kalıyor ise gözeneklilik faktörü, k_o içinde değerlendirilir. Bu durumda A, katı parçacığın geometrik yüzey alanı olacaktır. Katı parçacık geometrik yüzey alanı geometrik şecline bağlı olacağı için, önce küresel parçacıklar için hız denklemi elde edilecektir. Küresel parçacıkların reaksiyonu için uygun yüzey alanı Denklem 3,13 ile, bu yüzeydeki reaktif merkezlerin toplam mol sayısı ise Denklem 3,14 ile tanımlanabilinir.

$$A = 4\pi r^2 \quad (3.13)$$

$$n = \frac{4/3 \pi r^3}{V} \quad (3.14)$$

Denklemlerdeki r parçacığın yarıçapı, V reaktifin (mineralin) molar hacmidir. Molar hacim maddenin molekül ağırlığının yoğunluğuna oranı ile bulunabilir (M/ρ). Denklem 3,14'ün zamana göre türevi alınır, elde edilen bağıntı, Denklem 3,13 ile birlikte Denklem 3,12 ile birleştirilip, yeniden düzenlenmesi ile Denklem 3,15 elde edilir (Wadsworth and Miller, 1979).

$$-\frac{dr}{dt} = k' k_o V C = k_1 C \quad (3.15)$$

Bu lineer hız ifadesi olup, katı yüzeydeki reaktif derişimi k_o , sabit olduğu için lineer hız sabiti $k_1 = k' \cdot k_o \cdot V$ değerine eşittir.

t anında katı yüzeydeki reaktiflerin reaksiyona girme oranı (α) Denklem 3,16 ile tanımlanabilir.

$$\alpha = \frac{n_o - n}{n_o} = 1 - \frac{r^3}{r_o^3} \quad (3.16)$$

Denklem 3,16 zamana göre türevi alınıp, Denklem 3,15 ile birleştirilip, düzenlenirse Denklem 3,17 elde edilir.

$$\frac{d\alpha}{(1-\alpha)^{2/3}} = \frac{3k_1 C}{r_o^3} \cdot dt \quad (3.17)$$

$t=0$ için $\alpha=0$ ve $t=t$ için $\alpha=\alpha$ sınır değerleri arasında Denklem 3,17 integrе edilip, düzenlenir ise Denklem 3,18 elde edilir (Wadsworth and Miller, 1979).

$$1 - (1 - \alpha)^{1/3} = \frac{k_1 C}{r_o^3} \cdot t = k_{göz.} t \quad (3.18)$$

Çözelti fazındaki reaktif derişimi yüksek ve çözelti miktarı katı miktarına göre ağırı alınması durumunda, çözelti fazındaki reaktifin zamanla değişimi ihmali edilmiş ve sabit alınmıştır. Reak-

siyonun gözlenen hız sabiti,

$$k_{\text{göz}} = \frac{k_1 C}{r_o} \quad (3.19)$$

denklemi ile verilebilinir.

Denklem 3,18 küresel parçacıkların leaching reaksiyonlarına uygulanabileceği gibi, küb ve küre gibi eş boyutlu geometrik yapılı parçacıklarının leaching reaksiyonlarına da uygulanabilir.

Benzer kabuller ile kalınlığı yarıçapından küçük ($h_o \ll r_o$) ince disk veya plaka geometriye sahip parçacıkların leaching reaksiyonları için Denklem 3,20; kalınlığı yarıçapından çok büyük olan silindirik ve iğnesi geometriye sahip parçacıkların leaching reaksiyonları ise Denklem 3,21 benzer yolla türetilebilinir (Wadsworth and Miller, 1979).

$$\alpha = \frac{2k_1 C}{h_o} \cdot t = k_{\text{göz}} \cdot t \quad (3.20)$$

$$1 - (1 - \alpha)^{1/2} = \frac{k_1 C}{r_o} \cdot t = k_{\text{göz}} \cdot t \quad (3.21)$$

3.2.2. Katı-sıvı arayüzeyindeki çözelti sınır katmanındaki diffüzyonun sınırlayıcı olması

Sıvı faz içinde bileşenlerden herhangi birinin bir noktadan bir başka noktaya taşınmasında yürütücü kuvvet; faz içindeki derişim gradienti ve ortamın diffüzyon katsayısını değiştiren sıcaklık ve derişimidir. Fick Diffüzyon Kanunu olarak ifade edilen bağıntı Denklem 3,22 ile verilmiştir (Bird et al., 1960).

$$J = -D \frac{\partial C}{\partial X} \quad (3.22)$$

Denklemdeki D diffüzyon katsayıSİ, C derişim, X referans düzleme dik olarak alınan eksen pozisyonu olup, J birim kesit alanına sahip referans düzleme dik yönde birim zamanda diffüzlenen madde miktarını göstermektedir. J, Denklem 3,23 ile de tanımlanabilinir.

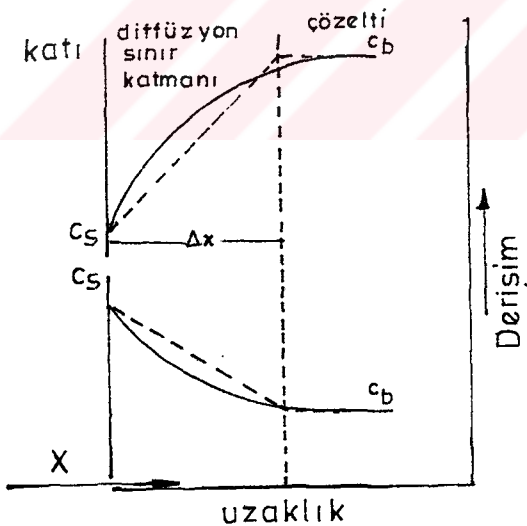
(Alpay, 1984).

$$J = \frac{1}{A} \cdot \frac{dn}{dt} \quad (3.23)$$

Denklemdeki A referans düzlemin alanı, t zaman, n madde miktarıdır. Denklem 3,22 ile Denklem 3,23 birleştirilip düzenlenir ise Denklem 3,24 elde edilir.

$$-\frac{dn}{dt} = DA \frac{\partial C}{\partial X} \quad (3.24)$$

Sekil 3,1'de katı parçacık çevresinde oluşan yatkın-hal diffüzyon sınır katmanı, şematik olarak görülmektedir. Sınır katmanı boyunca konsantrasyonun lineer değişimi kesikli, gerçek haldeki değişim değişimi ise kesiksiz çizgi ile gösterilmiştir (Wadsworth and Miller, 1979).



Sekil 3.1 Katı-sıvı arayüzeyinde yatkın-hal diffüzyon sınır katmanı.

Sabit ajitasyon şartlarında diffüzyon sınır kalınlığı ΔX için, sabit bir değer alınır. Çözeltideki reaktif derişimi yüksek ve çözelti miktarının katı miktarına oranı büyük olması durumun-

da $\Delta C \approx C_b$ sabit alınabilinir. Bu şartlarda sıvı fazdan katı yüzeye diffüzyon ile taşınan madde akışı sabit olacaktır.

$$\frac{1}{A} \cdot \frac{dn}{dt} = J = -D \frac{\Delta C}{\Delta X} \quad (3.25)$$

Katı-sıvı arayüzeyindeki diffüzyonun sınır katman kalınlığı sistemin ajitasyonu, diğer bir ifade ile karıştırılma şiddeti arttıkça azalacaktır. Ajitasyon şiddetine bağlı olarak $\Delta X \rightarrow \delta$ limit değerine ulaşır. δ , katı yüzeye bitişik limit sınır katmanının etkin minimum kalınlığı olarak tanımlanır. δ değeri ortamın viskozitesi, diffüzyon katsayısı ve sıvı fazda çözeltinin akış hızının fonksiyonudur.

Leaching reaksiyon hızının yüzey reaksiyonu tarafından sınırlanmasında elde edilen hız denklemlerine benzer olarak hız denklemleri, reaksiyonun limit sınır katman kalınlığındaki diffüzyon kalınlığındaki diffüzyon tarafından sınırlanması durumunda da elde edilebilinir. Bu bağıntılarda hız denklemlerinde stoikiometrik katsayı terimi α de bulunur. Stoikiometrik faktör terimi; reaksiyon ile mineralden bir mol metal gözündürülmesi için, diffüzyon ile taşınması gereken reaktiflerin mol sayısını ifade etmektedir. Buna göre genel reaksiyon hız ifadesi Denklem 3,26 ile tanımlanır.

$$-\frac{dn}{dt} = \frac{DAC}{2\delta} \quad (3.26)$$

Leaching prosesinde kullanılan parçacıkların küresel olması durumunda Denklem 3,26, aşağıdaki gibi düzenlenir.

$$-\frac{dn}{dt} = \frac{4\pi r^2 DC}{2\delta} \quad (3.27)$$

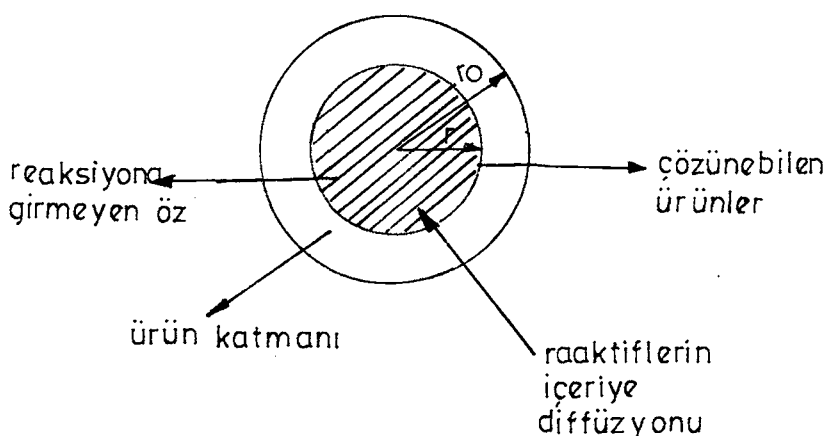
Denklem 3,14, 3,16 ve zamanla değişen değerleri dikkate alınarak düzenleneler bağıntı, $t=0$ için $\alpha=0$ ve $t=t$ için $\alpha=\alpha$ sınır değerleri arasında integre edilirse Denklem 3,28 elde edilir (Wadsworth and Miller, 1979).

$$1-(1-\alpha)^{1/3} = \frac{VDC}{2\delta r_0} \cdot t = \frac{k_1 C}{r_0} \cdot t \quad (3.28)$$

Denklemdeki $k_1 = k' k_0$ $V = \frac{V \cdot D}{\gamma \delta}$ olduğunu görülmektedir. Denklem 3,28 ile 3,18'in aynı olması nedeni ile, küresel parçacıkların leaching prosesinde sınırlayıcı basamağın yüzey reaksiyonu mu veya sınır katman kalınlığındaki diffüzyon mu olduğu, sadece kinetik verilerden belirlemek mümkün değildir. Hangi olayın sınırlayıcı olduğunu belirlenmesi için gözlenen reaksiyon veya kütle transfer hızı üzerinde sıcaklığın etkisi araştırılmalıdır.

3.2.3. Ürün katmanındaki diffüzyonun sınırlayıcı olması

Doğal minerallerin leaching proseslerinde mineraldeki bazı bileşenler çözünlerek sıvı faza geçerken, bazı bileşenler çözünmeden kalır. Çözünmeyen bileşen katı parçacıkta ayrılmıyor ise, orjinal minera- lin dış yüzeyinde bir ürün katmanı olarak kalır. Leaching prosesi devam ettikçe ürün katmanı kalınlığı artar. Leaching prosesinin devam edebilmesi için, çözelti fazındaki reaktif bu ürün katmanını geçerek reaksiyona girmemiş yüzeye ulaşması, oluşan ürünün ise yine aynı tabakayı geçerek çözelti fazına ulaşması gereklidir. Bazı doğal oksit ve sülfür minerallerinin leaching proseslerinde; reaksiyon hızı ürün katmanındaki diffüzyon ile sınırlanmaktadır. Şekil 3,2'de ürün katmanı oluşmuş bir parçacık şematik olarak görülmektedir (Smith, 1981).



Şekil 3.2 Gözünmeyen ürün katmanı oluşmuş küresel katı parçacığın görünümü.

Ürün katmanı içindeki diffüzyon, X yerine r alınarak Denklem 3,22 aşağıdaki gibi yazılabılır.

$$J = -D \frac{dC}{dr} \quad (3.29)$$

r' nin r_0 ile r arasındaki tüm değerlerinde yatkın-hal şartları kabul edilerek integre edilip düzenlenliğinde Denklem 3,30 elde edilir.

$$J = -DC \frac{r}{r_0(r_0-r)} \quad (3.30)$$

Diffüzyon için verilen Denklem 3,23 ile Denklem 3,30 birleştirip, stokiyometrik katsayı da dikkate alınarak yapılan düzenleme ile reaksiyon hızı için Denklem 3,31 elde edilir.

$$-\frac{dn}{dt} = \frac{4\pi D C r r_0}{\eta(r_0-r)} \quad (3.31)$$

Denklem 3,14'ün türevi alınmış şekli ile Denklem 3,31 birleştirilecek düzenlenir ise aşağıdaki Denklem elde edilir.

$$-\frac{dr}{dt} = \frac{VDC r_0}{\eta r(r_0-r)} \quad (3.32)$$

Parçacık üzerinde gözünen bileşenin reaksiyona girme oranı (α)ının zamanla değişim değeri Denklem 3,32 ile birleştirip, düzenlenliğinde Denklem 3,33 elde edilir.

$$\frac{d\alpha}{dt} = \frac{3VDC}{\eta r_0^2} \cdot \frac{(1-\alpha)^{1/3}}{1-(1-\alpha)^{1/3}} \quad (3.33)$$

$t=0$ için $\alpha=0$, $t=t$ için $\alpha=\alpha$ sınır değerleri arasında Denklem 3,33 integre edilip, yeniden düzenlenirse Denklem 3,34 elde edilir (Wadsworth and Miller, 1979).

$$1 - \frac{2}{3} \alpha - (1-\alpha)^{2/3} = \frac{2VDC}{\eta r_0^2} \cdot t = k_{\text{göz.}} t \quad (3.34)$$

Disk veya plaka şeklindeki parçacıklar için integre edilmiş

hız denklemi ise, Denklem 3,35 ile verilmektedir (Ross, 1967).

$$\left[1 - (1-\alpha)^{1/2} \right]^2 = - \frac{2k}{r_0^2} \cdot t \quad (3.35)$$

Denklem 3,18, 3,28 ve 3,34 gözelti ortamındaki reaktif derişiminin, sabit kaldığı kabul ederek elde edilmiştir. Leaching prosesi süresince sıvı fazdaki reaktif derişiminin değişmesi durumunda $C = C_0 (1 - \alpha b \alpha)$ alınarak, Denklem 3,17 ve Denklem 3,33 sırası ile aşağıdaki gibi düzenlenmelidir.

$$\frac{d\alpha}{dt} = \frac{3k_1}{r_0^2} \cdot (1-\alpha)^{2/3} C_0 (1 - \alpha b \alpha) \quad (3.36)$$

$$\frac{d\alpha}{dt} = \frac{3VDC_0}{\alpha r_0^2} \cdot \frac{(1-\alpha)^{1/3} (1 - \alpha b \alpha)}{1 - (1-\alpha)^{1/3}} \quad (3.37)$$

Denklemlerdeki $b = n_0/V_s C_0$ ve n_0 mineraldeki çözünen bileşenin toplam mol sayısı, α ise mineraldeki çözünen bileşenin molü bağına gerekli sıvı fazdaki reaktifin mol sayısıdır. Sıvı fazdaki reaktif çözünen bileşene göre stokiyometrik oranda alınması ($\alpha b = 1$) durumunda $t=0$ için $\alpha=0$ ve $t=t$ için $\alpha=\alpha$ sınır değerleri arasında Denklem 3,36, 3,37 integre edilirse Denklem 3,38 ve 3,39 elde edilir (Wadsworth and Miller, 1979).

$$1 - (1-\alpha)^{-2/3} = - \frac{2k_1}{r_0^2} C_0 \cdot t \quad (3.38)$$

$$\frac{1}{3} \ln(1-\alpha) - 1 - (1-\alpha)^{-1/3} = \frac{VDC_0}{\alpha r_0^2} \cdot t \quad (3.39)$$

3.2.4. Birden fazla basamak ile sınırlanmış reaksiyonlar

Leaching proseslerinde reaksiyon hızı, reaksiyonun gerçekleşmesinde katkısı olan birden fazla basamak ile sınırlanmış olabilir. Net reaksiyon hızı, ilgili basamak hızlarının bir bileskesidir. Bu tür leaching proseslerinde sık karşılaşılan iki hal için hız denklemleri incelenecektir.

Reaksiyon hızının yüzey reaksiyonu ve sınır katmanındaki difüzyon hızı ile birlikte sınırlandırılmış olması durumunda yüzey reaksiyon hızı, Denklem 3,40 ile tanımlanır.

$$-\frac{dn}{dt} = Ak_s C_s \quad (3.40)$$

Denklemdeki A, leaching ortamındaki katı parçacığın toplam yüzey alanı, k_s yüzey reaksiyon hızı, C_s sıvı fazdaki reaktifin katı yüzey üzerindeki yüzey derişimi, n ise katı fazdaki reaktifin toplam mol sayısını göstermektedir. Sıvı fazdaki reaktifin sıvı faz ve katı yüzeydeki derişimi farklıdır (Şekil 3,1).

Sabit ajitasyon şartlarında diffüzyon sınır katmanından reaktifin diffüzyonu için, Denklem 3,22'nin özel hali kullanılabilir.

$$J = -D \frac{C_b - C_s}{\Delta X} \quad (3.41)$$

Denklem 3,23 ile Denklem 3,41 birlikte kullanılarak, reaktifin kütte transfer hızı Denklem 3,42 ile verilir.

$$-\frac{dn}{dt} = \frac{DA}{\Delta X} (C_b - C_s) \quad (3.42)$$

Denklem 3,40 ile Denklem 3,42'nin ortak çözümünden bulunacak yüzey derişimi (C_s), Denklem 3,40'da yerine konup, stokiyometrik katsayı da dikkate alınarak düzenlenir ise Denklem 3,43 elde edilir.

$$-\frac{dn}{dt} = \frac{AC}{\frac{\Delta X}{D} + \frac{1}{k_s}} = k_T AC \quad (3.43)$$

Sabit reaksiyon şartlarında ΔX , D ve k_s sabit olduğundan, $k_T = 1/(\Delta X/D + 1/k_s)$ alınmıştır. k_T 'nin sıcaklığa bağımlılığı D ve k_s 'nin sıcaklığa bağımlılığına bağlıdır. Bu tür reaksiyonlar yüksek sıcaklıklarda diffüzyon kontrollü, düşük sıcaklıklarda yüzey reaksiyon kontrollü, orta sıcaklıklarda ise her iki olayın kontrolünde gerçekleşmektedir.

Leaching prosesinde katı parçacık üzerinde ürün katmanı oluş-

yor ve bu ürün katmanındaki diffüzyon ile yüzey reaksiyonunun sınırladığı reaksiyonlar için hız ifadesi Denklem 3,44 ile verilmektedir.

$$-\frac{dn}{dt} = \frac{\frac{AC}{b(n_o - n)}}{\frac{D}{A_o C k_p} + \frac{1}{A_o C k_s}} \quad (3.44)$$

Denklemdeki n_o ve n katı parçacıkta reaktifin reaksiyon başlangıcı ve t anındaki mol sayıları olup b , n , n_o , A ve çözünen tabaka kalınlığı ΔX arasında aşağıdaki bağıntı geçerlidir.

$$\Delta X = b(n_o - n) \quad (3.45)$$

Gözeltili fazındaki reaktif derişimi ve toplam yüzey alanının sabit kalması halinde hız ifadesi Denklem 3,46 veya 3,47 şeklinde yazılabılır (Wadsworth and Miller, 1979).

$$\frac{\Delta n^2}{A_o C k_p} + \frac{\Delta n}{A_o C k_s} = t \quad (3.46)$$

$$\frac{t}{\Delta n} = \frac{\Delta n}{A_o C k_p} + \frac{1}{A_o C k_s} \quad (3.47)$$

Denklemlerdeki $\Delta n = n_o - n$, $k_p = 2D/b$ değerleri olarak alınmaktadır.

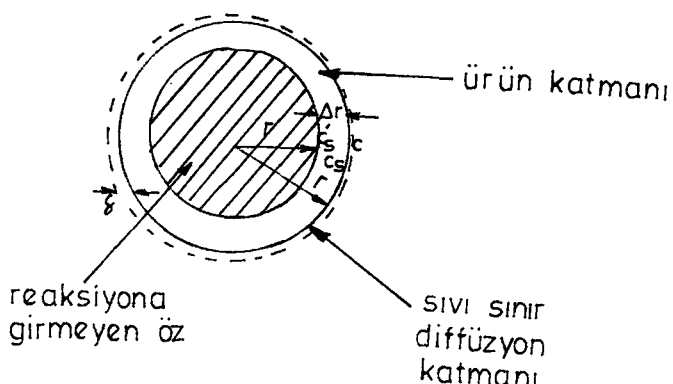
Reaksiyon hızının sıvı sınır katmanındaki diffüzyon, ürün katmanındaki diffüzyon ve yüzey reaksiyonu ile birlikte sınırlanmış leaching reaksiyonları ile de karşılaşmak mümkündür. İlgili olaylara ait hız ifadeleri aşağıdaki bağıntılar ile verilmektedir (Wadsworth and Miller, 1979).

$$-\frac{dn}{dt} = \frac{4\pi r_o^2 D_s (C_s - C_{s'})}{2\delta} \quad \text{Sınır katmanında diffüzyon} \quad (3.48)$$

$$-\frac{dn}{dt} = \frac{4\pi D' r r_o (C_s' - C_s)}{2(r_o - r)} \quad \text{Ürün katmanında diffüzyon} \quad (3.49)$$

$$-\frac{dn}{dt} = 4\pi r^2 C_s' k_o' \quad \text{Yüzey reaksiyonu} \quad (3.50)$$

Denklemlerde kullanılan bazı semboller ve reaksiyonun yürüyüşü Şekil 3,3'de gösterilmiştir (Wadsworth and Miller, 1979).



Şekil 3,3 Leaching prosesinde küresel parçacığın t anında görünümü.

Hız sınırlayan olayların yatkın-hal şartlarında Denklem 3,48 3,49, 3,50 birleştirilip Denklem 3,14 ve 3,16 ile verilen tanım bağıntıları da dikkate alınarak düzenlenen denklem, $t=0$ için $\alpha=0$ ve $t=t$ için $\alpha=\alpha$ sınır değerleri arasında integre edilirse Denklem 3,51 elde edilir.

$$\frac{\partial \alpha}{\partial t} = + \frac{3 \sigma r_0}{2 D'} \left[1 - \frac{2}{3} \alpha - (1-\alpha)^{2/3} \right] + \frac{1}{k'_0} \cdot$$

$$\left[1 - (1-\alpha)^{1/3} \right] = \frac{3 \sigma C}{r_0} t \quad (3.51)$$

3.2.5. Leaching proseslerinde sıcaklığın etkisi

Leaching proseslerinde sıcaklığın etkisi, proses reaksiyonunda etkili olan olayların sıcaklığa bağımlılıkları ile sınırlanmıştır. Leaching proseslerinde etkili olan diffüzyonun ve yüzey reaksiyonu hızının sıcaklıkla değiştiği bilinen bir gerçekdir. Olayların hız sabitleri, sıcaklıkla üstel olarak değişmektedir. Arrhenius tarafından verilen bağıntı aşağıda verilmiştir.

$$k = A e^{-E_a/RT} \quad (3.52)$$

Denklemden de görüldüğü gibi olayların hız sabitlerinin sıcaklıkla değişim hızı olayın aktivasyon enerjisine (E_a) bağlıdır. Olayın aktivasyon enerjisi büyükçe sıcaklığın etkisi daha da büyük olmaktadır. Leaching proseslerinde gözlenen olaylarda diffüzyonun aktivasyon enerjisi 5 kcal/mol değerinden küçük iken, yüzey reaksiyonunun aktivasyon enerjisi 10-20 kcal/mol hatta daha büyük değerler alabilmektedir (Forward and Petters, 1981). Aktivasyon enerjileri dikkate alındığında; diffüzyon ile sınırlırmış leaching proses reaksiyonları sıcaklıktan daha az etkilenirken yüzey reaksiyonu ile sınırlırlanan proses reaksiyonlarının daha çok etkileneceği açıklanır.

Önceki bölümlerde açıklandığı gibi, leaching prosesleri aynı anda birden fazla olay hızı ile sınırlırmış olabilir. Bu durumda sıcaklığın net reaksiyon hızı üzerindeki etkisi oldukça komplektir. Hızı sınırlayan olaylardan biri diğerlerinden soyutlanan şartlar altında incelenerek, her bir olay üzerindeki sıcaklığın etkisi ayrı ayrı araştırılmalıdır.

3.3. Leaching Teknikleri

Leaching uygulanacak katı maddenin özellikleri ve ekonomik şartlar dikkate alınarak farklı leaching teknikleri geliştirilmiştir. Aşağıdaki bölümlerde yaygın kullanılan leaching teknikleri açıklanmıştır.

3.3.1. Maden yatağında leaching

Maden yatağında leaching, çözücünün maden yatağı üzerine ve içine gönderilmesi ile minerallerin çözündürülmesi işlemidir. Çözücü, maden yatağına yerleştirilen boru sistemi içinden sürekli verilir. Çıkan sıvı ise, ayrı boru sisteminden alınır. Bir başka uygulamada ise çözücü yatağa pompalanıp çıkan sıvı aynı boru sisteminden alınır. Bakır ve uranyum gibi mineraller bu yöntemle zenginleştirilirler (Pehlke, 1973; Treybal, 1981).

3.3.2. Yığın leaching

Su geçirmez tabakalar üzerinde, büyük yığınlar oluşturacak se-

kilde konulan maden parçalarının çözündürülmesi işlemidir. Çözücü, çeşitli sistemlerle mineral yığını üzerine dağıtilır. Bu teknik; genelde mineral değerleri kıarma ve öğütme maliyetlerini karşılayamayan düşük sınıf cevherlere uygulanır. Bu leaching tekniğinde %60' dan büyük olmayan bir verim kaydedilir. Bu verimin elde edilmesi için gereken leaching süresi, aylara ve yıllara kadar uzayabilir (Sohn, 1979; Treybal, 1981; Forward and Warren, 1985).

3.3.3. Süzme leaching

Süzme leaching, -3/4+3/8 inç aralığında orta boyuttaki katılarla beslenen teknelerde veya tanklarda kesikli leaching tekniğidir. Tankların yapısı katı ve çözücüün tabiatına ve işletme boyutuna bağlıdır. Tanklar eşit boyuttaki katılarla, katı yatak içinde sıvının kanallaşmasını engelleyecek kadar boşluk oranında doldurulmalıdır. Çözücü, katayı daldıracak kadar miktarda, belirli bir süre içinde tanka pompalanır. Sonra sıvı, katıdan tankın altında bulunan süzgeçten süzüllererek ayrılır. Bu işlem, bütün çözünen bileşen çözünunceye kadar tekrarlanabilir.

Bir başka uygulamada; tanka sürekli çözücü alınıp, çıkan gözelinin bir kısmı tekrar prosese verilir veya verilmeyebilir. Böyle bir proses, birkaç kademeli prosese eşit olabilir. Süzme leaching, tank serileriyle zit akım yöntemiyle de gerçekleştirilebilir. 100-200 saat işletme süresinde %95 verimle bakır oksit ve uranyum mineralleri zenginleştirilmektedir (Treybal, 1981; Forward and Warren, 1985).

3.3.4. Karıştırmalı leaching

Karıştırmalı leaching; diğer leaching tekniklerine göre daha ince öğütülmüş, %75 katı içeren bulamacın bulunduğu karıştırmalı tanklarda yürütülen leaching tekniğidir. Leaching prosesi; atmosfer basıncındaki, atmosfer basıncının altındaki, atmosfer basıncının üzerindeki basınç ve orta ve yüksek sıcaklık şartları altında kesikli, paralel akım, zit akım modellerinde gerçekleştirilir.

Kesikli leaching, özellikle az miktarda katı maddenin işletildiği durumlarda uygulanır. Sürekli paralel akım modelinde; leaching

süresince katı maddede çözünebilen bileşen derişimi ve çözeltideki çözücü derişimi azalacağından, reaksiyon hızı azalır. Zit akım modelinde; birinci basamaktaki taze katı, ikinci basamaktan verilen çözelti ile kısmen çözündürülüp, sıvı ve katı ayrılır ve kısmen çözülmüş katı ikinci basamağa verilir. Sıvı, prosesde taze katı ile karışıp, çözünme sonucunda prosesden çözünen maddece derişimi artmış çözelti olarak alınırken; prosesin diğer ucundan katı, atık olarak alınır. Zit akımlı leaching prosesinin kapital maliyeti, hem bir basamak arasında katı-sıvı ayırma tesisini gerektirdiğinden paralel akımlı leaching prosesinden daha yükseltir.

Leaching kapları en basit şekilde, konik tabanlı uzun dairesel tanklardır. Katı-cözücü sıvı bulamacı, konik tabandan giren hava veya buhar akımı ile karıştırılır. Atmosfer basıncının üzerindeki proseslerde, üstü kapalı tanklar kullanılır. Karıştırmalı leaching ile diğer leaching tekniklerine göre, kısa zamanda daha yüksek verim sağlanmaktadır; fakat yılda işlenen materyal başına yüksek kapital yatırımı gerektirmektedir (Treybal, 1981; Forward and Warren, 1985).

3.4. Leaching Gözüçülerı

Kullanılan çözücü pahalı olmamalı, katı karışımından ayrılmasını istenen bileşeni kolay ve hızlı şekilde gözebilmeli ve kolayca arıtılabilmelidir. Aşağıdaki bölgelerde, minerallerin leaching'in de yaygın olarak kullanılan çözüçüler açıklanmıştır (Smith, 1981; Treybal, 1981; Fletcher et al., 1985).

3.4.1. Asidik çözüçüler

Asidik çözüçüler, en yaygın kullanılan çözüçülerdir. Asit kullanımı çok miktarda asit tüketimi gerektirmeyen minerallerle sınırlıdır. Mineraller çeşitli tekniklerle doğrudan veya leaching öncesi kalsinasyon gibi ön işlemlerden sonra asitle çözündürülürler. Yerelden olarak kullanılan asidik çözüçüler; sülfürik asit, hidroklorik asit, nitrik asit ve hidroflorik asittir.

3.4.2. Bazik çözüçüler

Bazlar, belirli mineral veya mineral karışımından istenen veya

istenmeyen bileşenlerin etkin şekilde gözündürülmesini sağlarlar. Bazlar, genelde asitlere göre daha seçicidirler. Bazlar, özellikle çok miktarlarda asit tüketen mineraller için iyi gözücüdürler. Bu seçiciliklerine rağmen; baz ile daha düşük verimde gözündürmeler gerçekleştirilir. Yerigin olarak kullanılan başlıca bazik çözüçüler; sodyum hidroksit, sodyum karbonat, amonyum hidroksit, amonyum karbonat, potasyum hidroksit, malsiyum hidroksit ve sodyum sulfittidir.

3.4.3. Su

Su, mineral suda çözünebildiğinde veya mineral ön işlemlerle suda çözünebilen bir bileşime dönüştürüldüğünde uygun bir gözücüdür.

3.4.4. Bakteriyel çözüçüler

Bazı cevherlerin leaching'inde "Thiobacillus Ferrooxidans" diye bilinen organizmanın demirli ve hükürtlü bileşikleri yükseltmesinden yararlanılır. Bu bakteri maden yığınlarında, maden ocaklarında veya yataklarda düşük sınıftaki cevherlerin leaching'ine yardım eder. Bu proses, diğer leaching proseslerine göre daha az emek ve kapital yatırımı gerektirdiğinden çekicidir; fakat diğerlerine göre daha fazla zaman alır.

3.5. Leaching Prosesini Etkileyen Faktörler

Katı maddededen uygun bir çözücü kullanımı ile genellikle %90-%95 verimle istenen bileşen elde edilir. Amaç; optimum proses değişkenleri ile minimum maliyette seçimli olarak maksimum leaching hızı elde etmektir. Leaching prosesini etkileyen faktörler; parçacık boyutu, reaktif derisimi, sıcaklık, karıştırma hızı, bulamaç yoğunluğu, bulamaç viskozitesi gibi faktörlerdir (Treybal, 1981; Woodcock, 1985).

3.5.1. Parçacık boyutu

Parçacık boyutu, diğer faktörlere göre leaching hızı ve süresini daha çok etkileyen önemli bir faktördür. Parçacık boyutunun

değişmesine bağlı olarak leaching süreleri Çizelge 3,1'ae verilmiştir. Genellikle ince öğütme, leaching ile elde edilen miktarı artırr. Elde edilen miktar, öğütme maliyetini karşılayamadığı noktada ekonomik öğütme sınırı kavramı ortaya çıkar (Şekil 3,4 a).

Çizelge 3.1. Leaching sürelerinin parçacık boyutu ile değişmesi

<u>Boyut</u>	<u>Proses</u>	<u>Leaching süresi</u>
-	Hadden yatağında leaching	20 yıl
60 inç	Atık yatak leaching	10 yıl
6 inç	Yığın leaching	1 yıl
-3/4 inç	Süzme leaching	2-14 gün
65 mesh	Karıştırmalı leaching	2-24 saat
10 mikron	Karıştırmalı leaching	0,1 saat

Leaching prosesi, parçacık boyutunu belirleyebilir. Leaching için uygun boyutta parçacıklar bulunduran bulamacın, karıştırmalı leaching prosesinde işlem görmesi için daha ince öğütme gerekebilir. Gözünebilen bileşen, katı içinde çok veya daha az homojen şekilde dağıldığında; gözücü, kanallar vasıtasyyla katı içinden geçebilir ve öğütme işlemine gerek kalmayabilir. Gözünen madde, katı parçacık yüzeyi üzerinde tutunduğunda katı öğütülmeyip, sadece parçalanır. Flotasyonla zenginleştirilmiş cevherler ince öğütmeyi gerektirmezler (Treybal, 1981; Woodcock, 1985).

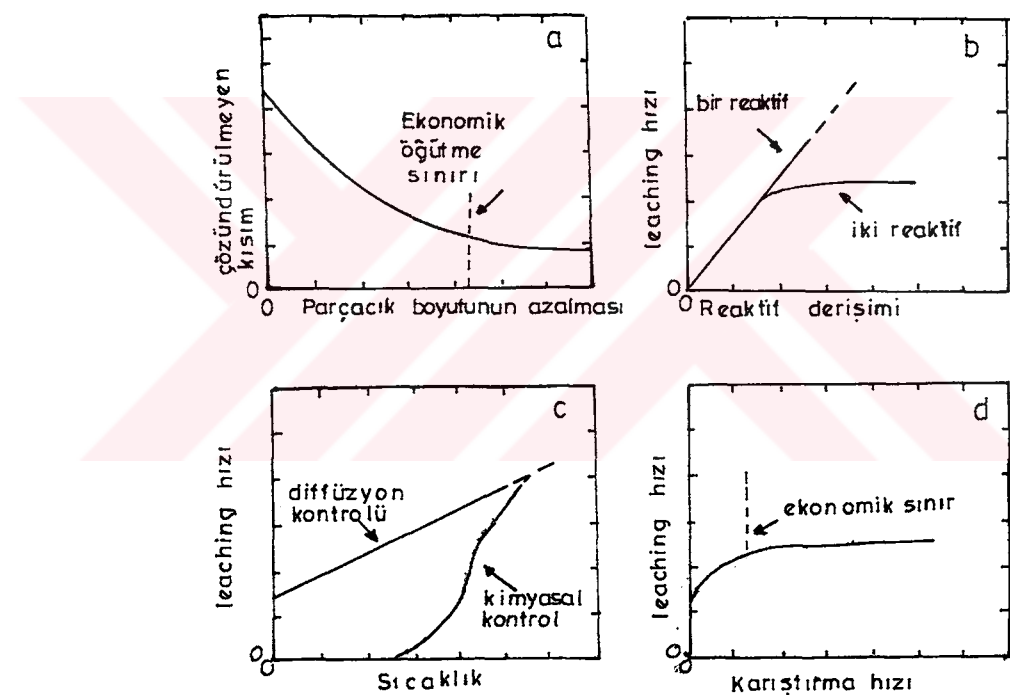
3.5.2. Reaktif derişimi

Reaktif derişimi, leaching prosesinde önemli faktörlerdenidir. Reaktif maliyetleri, işletme maliyetlerinin önemli bir kısmını oluşturduğundan, reaktif tüketimi azaltılmalıdır. Bu da, leaching maksimumlaştırılırken reaktif derişimin optimumlaştırılmasıyla gerçekleştirilebilir (Şekil 3,4 b) (Smith, 1981; Woodcock, 1985).

3.5.3. Sıcaklık

Genellikle yüksek sıcaklıklarda sıvıların viskozitesi küçük ve leaching hızını artıran diffüzyon katsayıları büyük olacağına

dan leaching böylece ölçüde gerçekleştirilir. Diğer taraftan yüksek sıcaklık fazla miktarda istenmeyen maddelerin çözülmesine veya katının tahrip olmasına neden olabilir. Diffüzyon kontrollü leaching reaksiyonlarında; sıcaklık artışı, reaksiyon hızını genellikle lineer veya lineere yakın oranda artırır. Yüzey reaksiyon kontrollü leaching reaksiyonlarında; sıcaklık artışı, reaksiyon hızında üstel artış sağlar ve reaksiyon, diffüzyon kontrollü olur (Şekil 3, 4 c) (Treybal, 1981; Woodcock, 1985).



Şekil 3.4 Leaching hızı üzerine (a) parçacık boyutu, (b) reaktif derişimi, (c) sıcaklık, (d) karıştırma hızı etkisi.

3.5.4. Karıştırma hızı

Diffüzyon kontrollü reaksiyonlarda karıştırma hızındaki artış, leaching hızını bir limit değere artırır. Karıştırma hızındaki artış, diffüzyon sınır katman kalınlığını azaltır. Karıştırmanın etkisi; genellikle bulamaştaki parçacıklar-gözelçi arasındaki bağıl hareketeye, parçacığın gözenekleri içindeki diffüzyonun

parçacık yüzeyindeki çözelti hareketine öneMLİ derecede bağlı olmaması nedenleriyle pek açık değildir. Karıştırma hızında diffüzyon sınır katman kalınlığını ortadan kaldıracak kadar yapılan artış, leaching hızını arttırır. Bu noktada ekonomik karıştırma hız sınırı söz konusudur. Bundan sonra karıştırma hızındaki artış, leaching hızında artış sağlayamaz (Bkz. Sekil 3, 4'd) (Forward and Peters,, 1985: Woodcock, 1985).

3.5.5. Bulamaç yoğunluğu

Karıştırmalı leaching prosesinde bulamaç yoğunluğu; beslenen parçacık boyutu, katı madde türü, prosesin özellikleri gibi faktörlerle, çözeltideki çözücü sıvı miktarı, çözeltiye alınmak istenen çözünen bileşen miktarı gibi faktörler arasındaki ilişkiye bağlıdır (Woodcock, 1985).

3.5.6. Bulamaç viskozitesi

Bulamaç viskozitesi, bazı durumlarda öneMLİ olan bir faktördür. Oksijen gibi gazların bulamaç içinde çözünmesi istediği, katı maddeının büyük bir kısmının asidik veya bazik çözeltiye alınması istediği durumlarda yüksek viskozite istenilmez (Woodcock, 1985).

3.6. Killerden Alüminyumun Leachingine

Killer su, asidik ve bazik çözücülerle çözündürülebilir. Leaching öncesi kıl, tek başına veya sodyum sülfat, potasyum sülfat, sezyum sülfat, baryum sülfat, magnezyum sülfat, kalsiyum sülfat, sodyum klorür, potasyum klorür gibi tuzlarla kalsine edilir. Alüminyumun leaching verimi; sülfatların erime noktasının düşük olup olmamasına ve pirosülfatlarının oluşma kapasitesine bağlı olarak değişir (Gizelge 3,2).

Ağırlıkça %30 sodyum sülfatlı ve sodyum sülfatsız 800°C 'de kalsine edilen, alüminyum kaynağı olan killerden su ve 0,2N sülfürik asit ile alüminyum leaching'ine ait çalışmalar sonucunda şu sonuçlar ortaya çıkarılmıştır: Alüminyumun leaching verimi; sodyum sülfatlı kalsinasyon, çözücü olarak sülfürik asit kullanımı ve kildeki Si/Al oranının azalmasıyla artmaktadır (Khalafalla et al. 1979).

Montmorillonit ve nontronit minerallerinden alüminyumun hidro-klorik asitle leachingine ait çalışmalar sonucunda; reaksiyon hız ifadesinin birinci mertebeden olduğu, reaksiyon hız sabitinin asit derişimi ile arttığı ve aktivasyon enerjisinin 17-18 kcal/mol olduğu bulunmuştur (Osthaus, 1956). Ortoklorit minerallerinden hidro-klorik asit ile alüminyum leachingine ait reaksiyon hız ifadesinin, birinci mertebeden diffüzyon kontrollü olduğu ve aktivasyon enerjisinin 21 kcal/mol olduğu bulunmuştur (Ross, 1967). 540°C 'de kalsine edilen kaolenden, hidrojen florürülu hidroklorik asit ile alüminyum leachingine ait reaksiyonun aktivasyon enerjisi ise, 5,5 kcal/mol olarak bulunmaktadır (Gajam and Raghavan, 1985). 600°C 'de 60dk kalsine edilen alünitten, 1/l sülfürik asit ile alüminyum leachingine ait bir çalışmada %98 verim elde edilmiştir (Gedikbey, 1985).

Çizelge 3.2. 1/l mol oranında ilave edilen bileşiklerle birlikte kalsine edilen killerden, su ile alüminyum leachingine ait % Al verileri (Khalafalla et al., 1979)

<u>Bileşik</u>	<u>Erime noktası($^{\circ}\text{C}$)</u>	<u>%AL (Aşırılıkça)</u>
Na_2SO_4	884	24
K_2SO_4	1076	6
Cs_2SO_4	1010	3
BaSO_4	1580	3
MgSO_4	1124	2
CaSO_4	1450	1
Na_2CO_3	851	24
NaCl	801	6

4. DENEYSEL ÇALIŞMA

4.1. Kullanılan Materyaller

Deneylerde kullanılan alünit cevheri, Dostel Alüminyum Sülfat A.Ş.'nin Şaphane'deki fabrikasının kalsinasyon fırını girişinden -20mm tane boyutunda alınmıştır. Cevher, geneli kırıcı ve bilyalı değirmenlerde öğütülmüş ve elek analizi yapılarak, -0,149mm (100 mesh) boyutlu stok alünit hazırlanmıştır. Yapılan tüm denel çalışmalarda hazırlanan stok alünit kullanılmıştır. Kullanılan alünitin kimyasal bileşimi %18.20 Al_2O_3 , %51,00 SiO_2 , %4.10 K_2O , %18.80 SO_3 , %6,20 H_2O , %1.70 diğer bileşenler olup, (Gedikbey, 1985) yaptığımız analiz ile stok alünit örneğimizin de %18.20 Al_2O_3 içerdığı doğrulanmıştır.

Denel çalışmalarında, çözündürme reaksiyonlarında kullanılan HCl H_2SO_4 gibi asitler; analiz çalışmalarında kullanılan reaktifler ve diğer kimyasal maddeler Merck ticari ürünüdürler.

4.2. Deney Yöntemi

Alünitteki alüminyumun çözündürülme reaksiyonlarında 150mlt hacimli, ceketli, ısıticili cam reaktör kullanılmıştır. Reaktör, sabit sıcaklık banyosundan sirküle ettirilen ısı transfer yağı ile ısıtılmış, reaksiyon karışımı, magnetik karıştırıcı ile sürekli olarak sabit hızda karıştırılmıştır. Reaktörü ısıtan ısı transfer yağıının ve reaktördeki reaksiyon karışımının sıcaklığı reaksiyon süresince kontrol edilmiş ve $+5^{\circ}\text{C}$ sapma ile sabit tutulmuştur.

Alünitteki alüminyumun çözündürülmesi reaksiyonlarında; stok alünitin 100°C sıcaklığındaki etüvde 1 saat bekletilmesine takiben alınan yaklaşık 5g. alünit kullanılmıştır. Gözücü olarak da 120mlt asit gözeltisi kullanılmıştır. Alünit ve asit gözeltisi reaktöre konulup reaksiyon başlatılmış, reaksiyon başlangıcına takiben 1., 2., 3., 4. ve 5. saatlerde reaksiyon karışımından 1'er ml t örnek alınmıştır. Örnek alımlarında dereceli pipet kullanılmış, alınan örnekte katı alünitin bulunmamasına dikkat edilmiştir. Alınan örnek, 10mlt'ye seyreltilip, hemotoksylin indikatörü yanında ayarlı EDTA gözeltisi ile geri titrasyon yöntemiyle göre titre edilmiş, titrasyon

yerlerinden gürziler alüminyum miktari hesaplanmıştır (Wlensky, 1984).

Alünitteki alüminyumun HCl ve H_2SO_4 çözeltilerinde çözündürülmesi reaksiyonları, aşağıda belirtilen şartlarda gerçekleştirilmişdir.

(I) Kalsinasyon sıcaklığı ve süresi, reaksiyon sıcaklığı sabit tutulup, alünitin farklı derişimli asit çözeltilerinde çözündürülmesi.

(II) Kalsinasyon sıcaklığı ve süresi, asit derişimi, reaksiyon sıcaklığı sabit tutulup, alünitin farklı KF/Al_2O_3 mol oranına sahip ortamda çözündürülmesi.

(III) Kalsinasyon sıcaklığı ve süresi, KF/Al_2O_3 mol oranı, reaksiyon sıcaklığı sabit tutulup, alünitin farklı derişimli asit çözeltilerinde çözündürülmesi.

(IV) Kalsinasyon süresi, KF/Al_2O_3 mol oranı, asit derişimi, reaksiyon sıcaklığı sabit tutulup, farklı kalsinasyon sıcaklıklarında kalsine edilen alünitin çözündürülmesi.

(V) Kalsinasyon sıcaklığı, KF/Al_2O_3 mol oranı, asit derişimi, reaksiyon sıcaklığı sabit tutulup, farklı kalsinasyon sürelerinde kalsine edilen alünitin çözündürülmesi.

(VI) Kalsinasyon sıcaklığı ve süresi, KF/Al_2O_3 mol oranı, asit derişimi sabit tutulup, alünitin farklı reaksiyon sıcaklıklarında çözündürülmesi.

(VII) Kalsinasyon süresi, KF/Al_2O_3 mol oranı, asit derişimi, reaksiyon sıcaklığı sabit tutulup, (Alünit+KF) karışımının birlikte farklı kalsinasyon sıcaklıklarında kalsinasyonundan sonra çözündürülmesi.

İlgili çözündürme reaksiyon şartları Çizelge 4,1'de toplu olarak verilmiştir.

4.3. Denel Bulgular

4.3.1. Alünitteki alüminyumun çözündürülmesi

Çizelge 4,1'de belirtilen alünitin hazırlanma şartları, çözün-

Çizelge 4.1. Alünitten alüminyumun gözündürülmesinde incelenen değişkenler

KF/Al ₂ O ₃ (mol oranı)		Asit derişimi (M)		Kalsinasyon T(°C)	Kalsinasyon t(dk)	Gözündürme T(°C)
		HCl	H ₂ SO ₄			
I	-	0,5	0,25	650	60	
		1,5	0,75	650	60	
		3,0	1,5	650	60	
		3,0	1,5	800	15	
		6,0	3,0	650	60	
II	0,15					
	0,30					
	0,45	3,0	1,5	650	60	95±5
	0,60					
	0,90					
III	0,60	0,5	0,25			
		1,5	0,75	650	60	95±5
		3,0	1,5			
IV	0,60			100		
				400		
				500		
				600		
				700		
				800		
				900		
					60	95±5
V	0,60	3,0	1,5	800	15 30 60	95±5
VI	-			650	60	35±5
				800	15	55±5
						95±5
VII	0,60			400	60	
				500	60	
				650	60	
				700	60	
				800	60	
				800	15	95±5

dürülen ortam şartları ve diğer reaksiyon şartları değiştirilerek toplam 5. saat sonunda çözünen alüminyum oranları (α) belirlenmiştir. 5. saatte çözündürülen alüminyum oranının incelenen değişkenler ile değişimini aşağıda ayrı ayrı verilmiştir.

650°C de 60 dk kalsine edilen alünitin KF'süz ortamda, $(95\pm 5)^{\circ}\text{C}$ reaksiyon sıcaklığında çözünen alüminyum miktarlarının asit türü ve derişimi ile değişimini Çizelge 4,2'de verilmiştir.

Çizelge 4.2. Asit türü ve derişiminin alünitten çözünen alüminyum miktarına (%) etkisi

HCl		H_2SO_4	
Derişim (M)	%Al (Ağırlıkça)	Derişim (M)	%Al (Ağırlıkça)
0,5	63,12	0,25	63,18
1,5	70,62	0,75	70,71
3,0	72,74	1,5	73,65
6,0	72,28	3,0	73,44
3,0*	62,63	1,5*	65,24

* Alünit 800°C de 15dk kalsine edilmiştir.

650°C de 60 dk kalsine edilen alünitin 3 M HCl ve 1,5 M H_2SO_4 çözeltilerinde, $(95\pm 5)^{\circ}\text{C}$ reaksiyon sıcaklığında çözünen alüminyum miktarlarının KF/ Al_2O_3 mol oranı ile değişimini Çizelge 4,3'de verilmiştir.

Çizelge 4.3. KF/ Al_2O_3 mol oranının, alünitten çözünen alüminyum miktarına (%) etkisi

KF/ Al_2O_3 (mol oranı)	3M HCl	1,5M H_2SO_4
-	72,74	73,65
0,15	76,63	77,58
0,30	76,73	77,66
0,45	77,14	78,21
0,60	80,82	81,42
0,90	79,00	80,08

650°C 'da 60 dk kalsine edilen alünitin, $(95\pm 5)^{\circ}\text{C}$ reaksiyon sıcaklığında çözünen alüminyum miktarları üzerinde asit derişimi ve potasyum florürün etkisi Çizelge 4,4'de verilmiştir.

Çizelge 4.4. Asit derişiminin, KF'süz ve KF'lü ($\text{KF}/\text{Al}_2\text{O}_3=0,60$) ortamda alünitten çözünen alüminyum miktarına (%) etkisi

3M HCl			$1,5\text{M H}_2\text{SO}_4$		
Derişim (M)	-	$\text{KF}/\text{Al}_2\text{O}_3 = 0,60$ (Mol oranı)	-	-	Derişim (M)
0,5	63,12	72,42	72,46	63,18	0,25
1,5	70,62	75,76	76,15	70,71	0,75
3,0	72,74	80,82	81,42	73,65	1,5
6,0	72,28	-	-	73,44	3,0

Parklı sıcaklıklarda 60dk kalsine edilen alünitin $(95\pm 5)^{\circ}\text{C}$ reaksiyon sıcaklığı, 3M HCl ve 1,5M H_2SO_4 'li ortamda çözündürülmesinde çözeltiye geçen alüminyum miktarlarının kalsinasyon sıcaklığı ile değişimi Çizelge 4,5'de verilmiştir. KF'ün çözünürlük üzerindeki etkisi ($\text{KF}/\text{Al}_2\text{O}_3=0,60$); (Alünit + KF) karışımı birlikte kalsine edilerek veya çözelti ortamında kullanılarak incelemiştir.

Çizelge 4.5. Kalsinasyon sıcaklığının alünitten çözünen alüminyum miktarına (%) etkisi

Kalsinasyon $T(^{\circ}\text{C})$	3M HCl		$1,5\text{M H}_2\text{SO}_4$	
	I	II	II	I
100	25,21	-	-	25,12
400	39,74	27,17	27,14	39,20
500	69,70	37,71	38,49	70,81
600	77,40	-	-	78,40
650	80,82	76,51	77,03	81,42
700	73,22	69,76	72,17	74,90
800	68,54	32,64	36,16	68,81
900	66,14	-	-	66,29

$\text{KF}/\text{Al}_2\text{O}_3=0,60$ mol oranında KF, çözelti ortamında (I) ve kalsinasyon ortamında (II) kullanılmıştır.

800°C 'de kalsine edilen alünitin $(95\pm 5)^{\circ}\text{C}$ reaksiyon sıcaklığında, KF'lü ($\text{KF}/\text{Al}_2\text{O}_3=0,60$) 3M HCl ve 1,5M H_2SO_4 çözeltilerinde çözünen alüminyum miktarlarının kalsinasyon süresi ile değişimi Çizelge 4,6'da verilmiştir.

Çizelge 4.6. Kalsinasyon süresinin alünitten çözünen alüminyum miktarına (%) etkisi

Kalsinasyon t(dk)	3M HCl	1,5M H_2SO_4
15	78,58	79,98
30	77,21	77,73
60	68,54	68,81

650°C 'de 60 dk kalsine edilen alünitin, KF'süz ve KF'lü ($\text{KF}/\text{Al}_2\text{O}_3=0,60$) 3M HCl ve 1,5 M H_2SO_4 çözeltilerinde ; 800°C 'de 15 dk kalsine edilen alünitin, aynı derişimli asit çözeltilerinde KF'lü ($\text{KF}/\text{Al}_2\text{O}_3=0,60$) ortamda farklı reaksiyon sıcaklıklarında çözünürlükleri incelenmiştir. Gözeltiye geçen alüminyum miktarlarının reaksiyon sıcaklığı ile değişimi Çizelge 4,7'de verilmiştir.

Çizelge 4.7. Reaksiyon sıcaklığının alünitten çözünen alüminyum miktarına (%) etkisi

Kalsinasyon şart.		650°C , 60dk				800°C 15dk			
Ortam	Reaksiyon T($^{\circ}\text{C}$)	KF'süz		KF/ $\text{Al}_2\text{O}_3=0,60$ (mol oranı)		KF'süz		KF/ $\text{Al}_2\text{O}_3=0,60$ (mol oranı)	
		3M HCl	1,5M H_2SO_4	1,5M H_2SO_4	3M HCl	3M HCl	1,5M H_2SO_4	1,5M H_2SO_4	
	35 ± 5	53,22	53,72	63,12	60,40	41,14	42,34		
	55 ± 5	64,77	65,04	71,47	70,98	68,01	68,27		
	95 ± 5	72,74	73,65	81,42	80,82	78,58	79,98		

Farklı şartlarda hazırlanan alünitin $(95\pm 5)^{\circ}\text{C}$ reaksiyon sıcaklığında, KF'süz ve KF'lü ($\text{KF}/\text{Al}_2\text{O}_3=0,60$) 3M HCl ve 1,5 M H_2SO_4 çözeltilerinde çözünürlüğü incelenmiş, gözeltiye geçen alüminyum miktar-

lari Çizelge 4,8'de verilmiştir.

Çizelge 4.8. Farklı şartlarda hazırlanan alünitten çözündürülen alüminyum miktarları (%)

Kalsinasyon şartları	650°C, 60dk		800°C, 15dk	
	KF/Al ₂ O ₃ (mol oranı)	3M HCl	1,5M H ₂ SO ₄	1,5M H ₂ SO ₄
0,00	72,74	73,65	65,24	62,63
0,60	80,82	81,42	79,98	78,58
0,60*	76,51	77,03	61,22	60,07
0,60**	-	-	36,16	32,64

* (Alünit+KF) karışımı birlikte kalsine edilmiş; çözelti KF'süz

** (Alünit+KF) karışımı birlikte 60dk kalsine edilmiş; çözelti KF'süz.

4.3.2. Alünitteki alüminyumun çözünme reaksiyonu hız sabitleri

Çizelge 4,1'de verilen reaksiyon şartlarında gerçekleştirilen çözünme reaksiyonları için reaksiyon başlangıcına takiben 1., 2., 3., 4. ve 5 saat sonunda alünitteki alüminyumun reaksiyona giren oranları (α) hesaplandı. Elde edilen verilerin Bölüm 3,2'de verilen ve doğal minerallerdeki metal bileşenin çözündürülmesi leaching proseslerine uygulanan hız ifadelerine uygunluğu araştırıldı. Bu amaç ile $t \rightarrow f(\alpha)$ değişim grafikleri çizildi. Hız sınırlayıcı basamakın hangi basamak olduğunun belirlenmesi için, küresel parçacık geometriye sahip minerallerin leaching prosesleri için verilen aşağıdaki bağıntılara göre $t \rightarrow f(\alpha)$ değişim grafikleri çizildi.

$$1-(1-\alpha)^{1/3} = \frac{k_1 C}{r_0} t = k_{\text{göz.}} t \quad (3.18)$$

$$1 - \frac{2}{3} \alpha - (1-\alpha)^{2/3} = \frac{2VDC}{\pi r_0^2} t = k_{\text{göz.}} t \quad (3.34)$$

$$\frac{t}{\Delta n} = \frac{\Delta n}{A_0 C k_p} + \frac{1}{A_0 C k_s} \quad (3.47)$$

Çizilen grafiklerden elde edilen verilerin teorik bağıntılardan $1 - \frac{2}{3} \alpha - (1-\alpha)^{2/3} = k_{göz} t$ bağıntısına uygun doğrular verdiği gözlandı. Parçacıkların küresellikten sapma gösterebileceği düşünülmerek disk ve plaka geometriye sahip minerallerin çözündürülmesinde reaksiyon hızı için verilen denklemlerden,

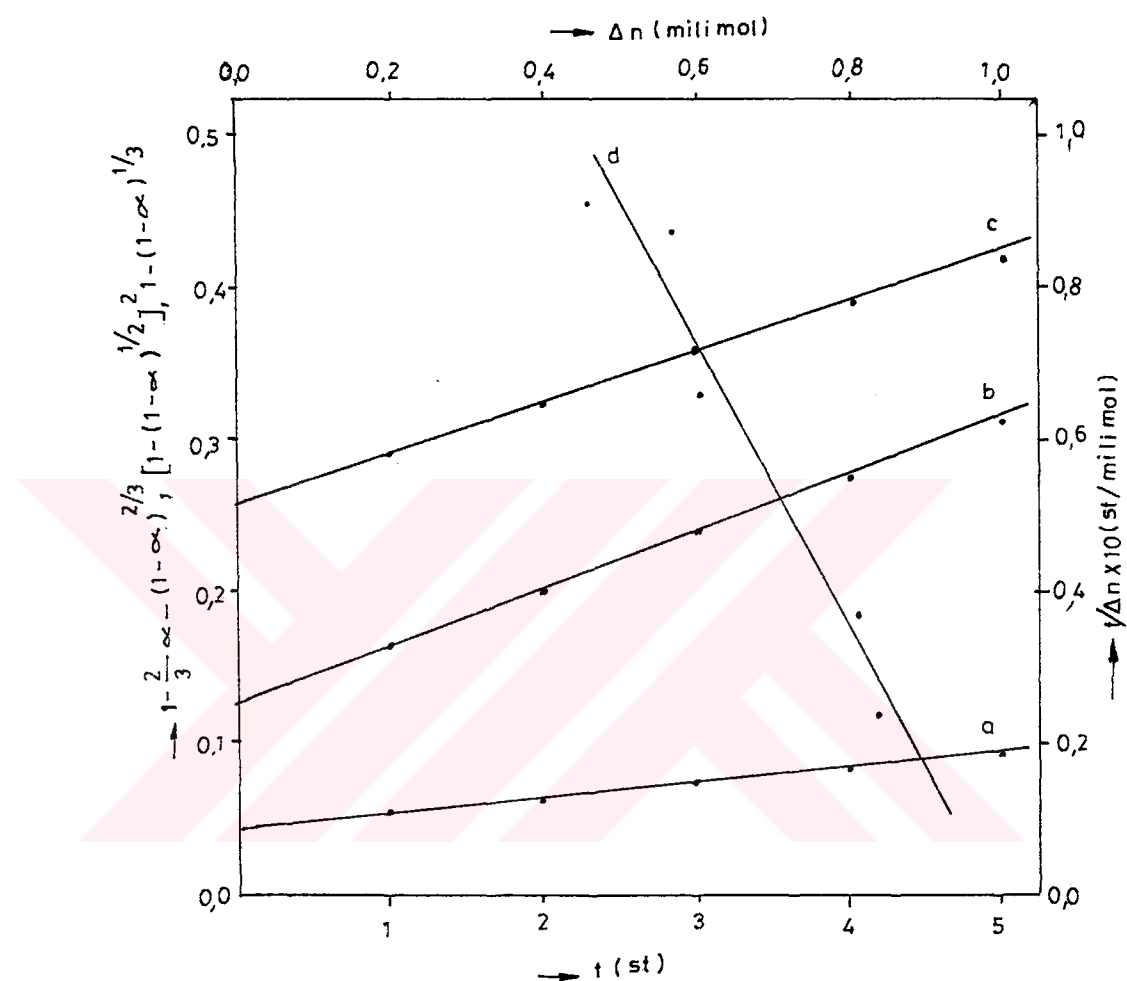
$$\left[1 - (1-\alpha)^{1/2} \right]^2 = \frac{2k}{r_0^2} t \quad (3.35)$$

denklemi gereği $t \rightarrow [1 - (1-\alpha)^{1/2}]^2$ grafikleri de çizildi (Şekil 4,1). Denel verilerin teorik bağıntıdan sapması nedeniyle, diğer reaksiyon şartlarında elde edilen denel veriler Denklem 3,34 kullanılarak çizilen $t \rightarrow f(\alpha)$ grafikleri Şekil 4,2, 4,3, 4,4 ve 4,5 de verilmiştir.

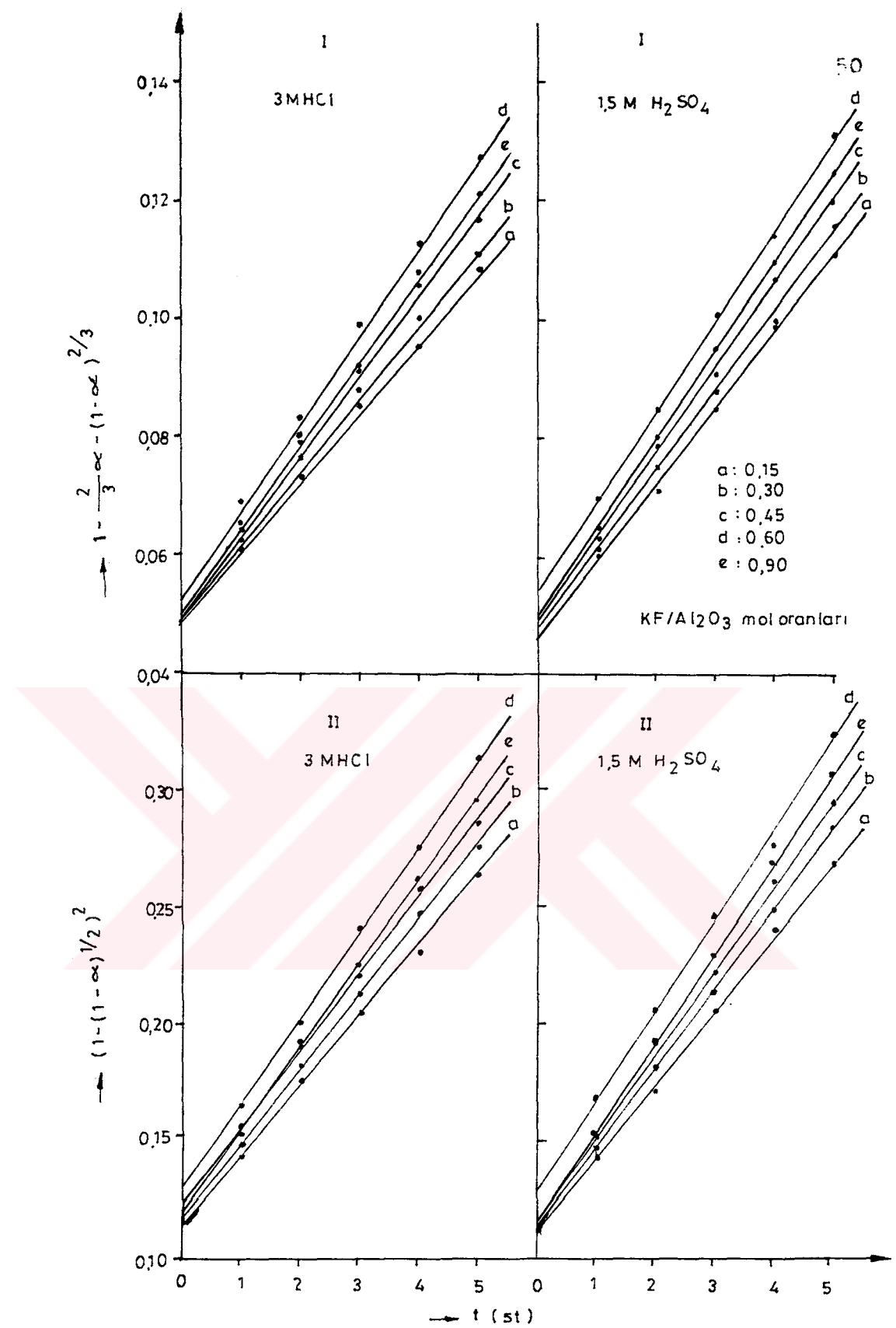
Denel verilerin teorik bağıntılardan Denklem 3,34 ile verilen hız denklemlerine daha uyumlu olması nedeniyle reaksiyonların gözlemlenen hız sabitleri, bu bağıntıya göre en küçük karaler yöntemi ile hesaplandı (Pekin, 1978). Gözlenen hız sabitlerinin incelenen leaching proses şartları ile değişen değerleri Çizelge 4,9, 4,10, 4,11 ve 4,12'de verilmiştir.

Çizelge 4.9. 650°C sıcaklıkta 60dk kalsine edilen alünitin HCl ve H_2SO_4 çözeltilerinde, $(95+5)^{\circ}\text{C}$ reaksiyon sıcaklığında gerçekleştirilen leaching reaksiyon hız sabitlerinin ortamındaki KF miktarı ile değişimini ($\text{K} \times 10^3 \text{ st}^{-1}$)

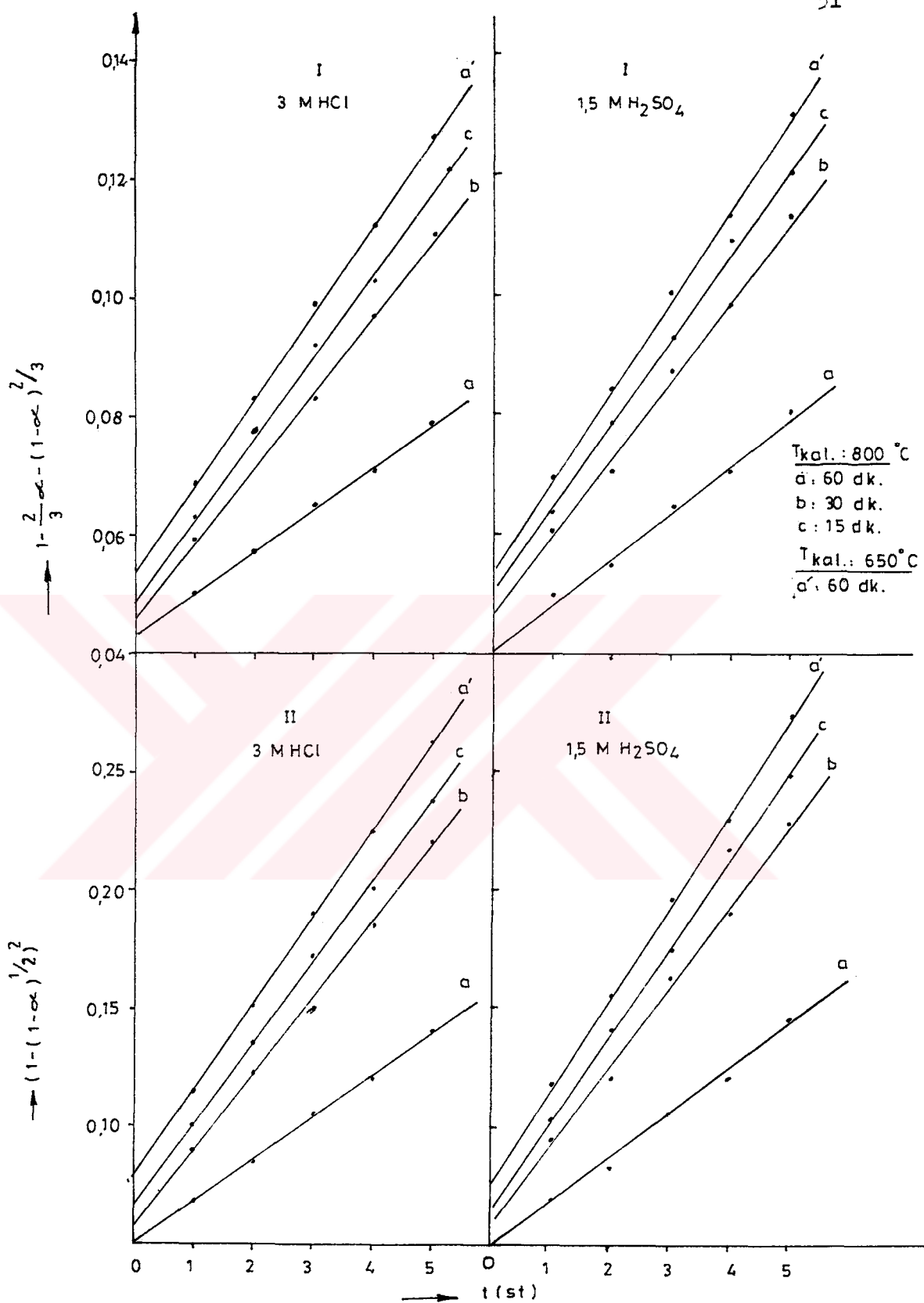
KF/ Al_2O_3 (mol orani)	3M HCl	1,5M H_2SO_4
-	9,784	10,109
0,15	11,762	12,772
0,30	12,680	13,642
0,45	13,218	14,273
0,60	14,586	15,178
0,90	13,958	14,928



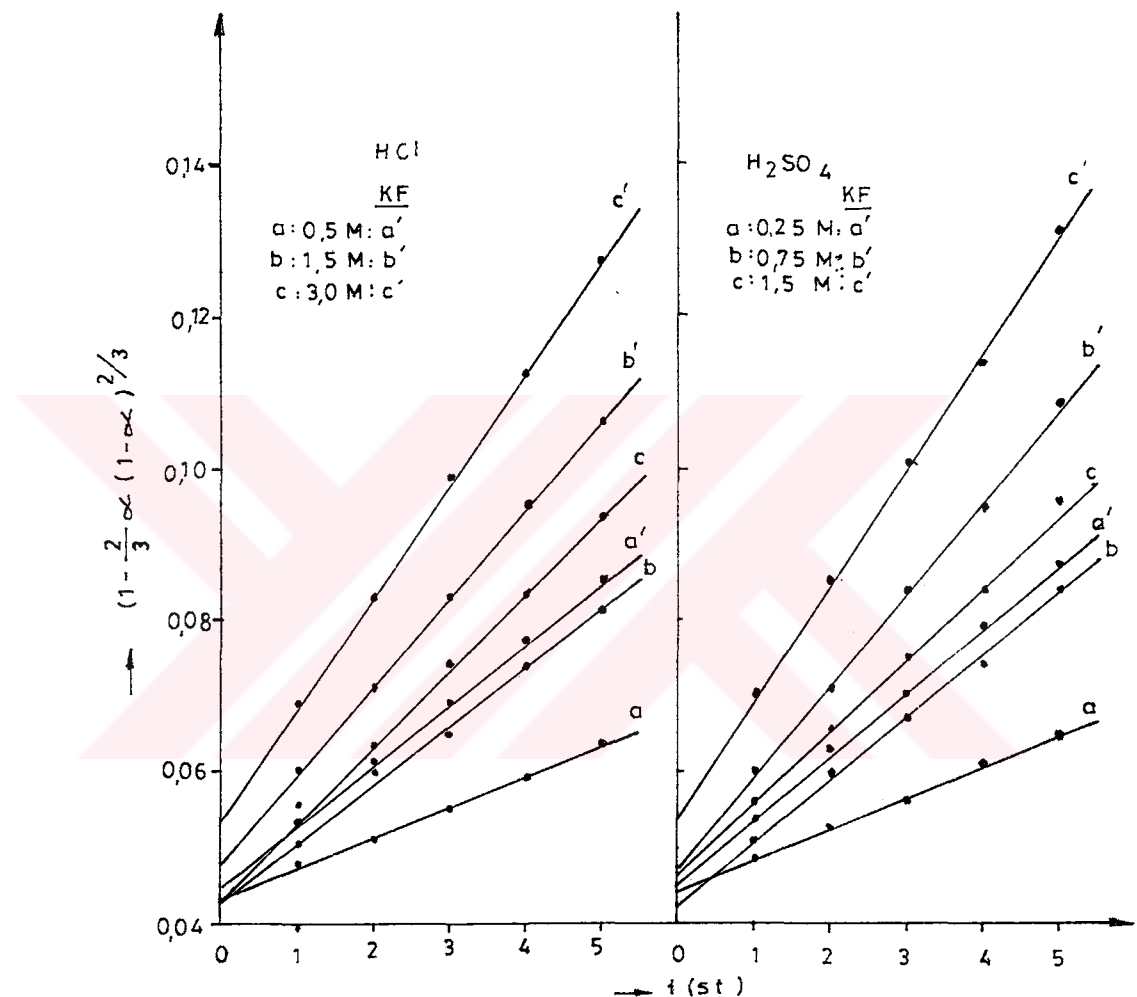
Şekil 4.1 GÜZ'linin purpacık geometrisi ve hız sınırlayan basamakların farklı olması durumunda önerilen teorik bağıntılar kullanılarak çizilen zamana karşı $f(\alpha)$ değişim grafikleri. (a) Denklem 3,34, (b) Denklem 3,35, (c) Denklem 3,18, (d) Denklem 3,47.



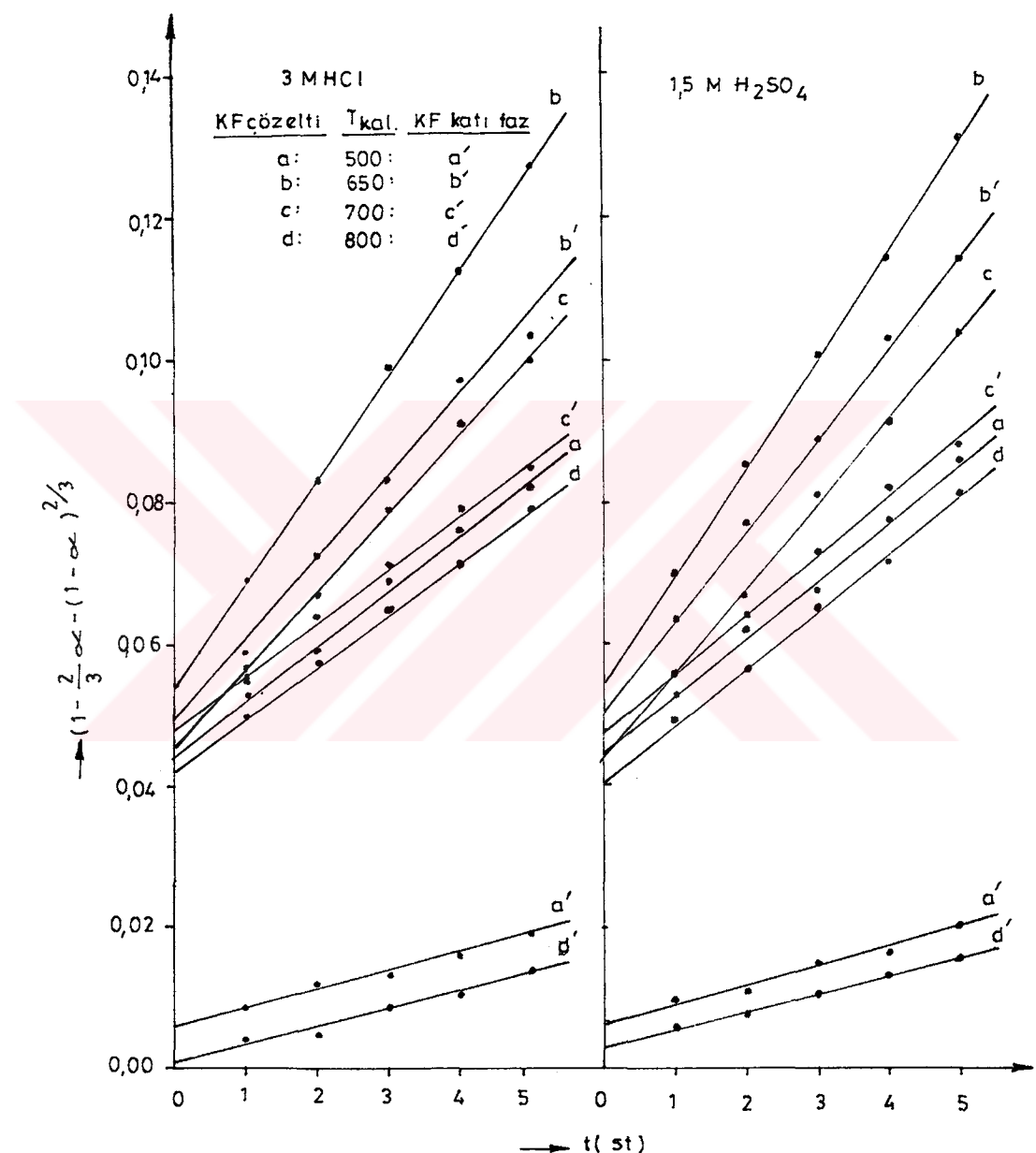
Sekil 4.2 650°C sıcaklıkta 60dk kalsına edilen alünitin HCl ve H₂SO₄ çözeltilerinde, (95±5)°C reaksiyon sıcaklığında, ortadaki farklı KF miktarlarında gerçekleştirilen leaching reaksiyonlarına ait $t \rightarrow f(\alpha)$ grafikleri. (I) Denklem 3,34 ve (II) Denklem 3,35 kullanılmıştır.



Sekil 4.3 800°C sıcaklığında farklı sürelerde kalsine edilen alünitin KF'lu ($\text{KF}/\text{Al}_2\text{O}_3 = 0,60$) HCl ve H₂SO₄ çözeltilerinde, $(95 \pm 5)^{\circ}\text{C}$ reaksiyon sıcaklığında gerçekleştirilen leaching reaksiyonlarına ait $t \rightarrow f(\alpha)$ grafikleri.



Sekil 4.4 650°C sicaklikta 60 dk kalsine edilen alüunitin KF 'süz ve KF 'li ($KF/\text{Al}_2\text{O}_3=0,60$) farklı derişimli HCl ve H_2SO_4 çözeltilerinde, $(95\pm 5)^{\circ}\text{C}$ reaksiyon sıcaklığında gerçekleştirilen leaching reaksiyonlarina ait $t \rightarrow f(\alpha)$ grafikleri.



Sekil 4.5 Farklı sıcaklıklarda 60 dk kalsına edilen alünit ve (Alünit+KF) karışımının sırasıyla KF'lü ve KF'süz HCl ve H₂SO₄ çözeltilerinde, (95±5)^oC reaksiyon sıcaklığında gerçekleştirilen leaching reaksiyonlarına ait t → f(α) grafikleri.

Çizelge 4.10. 800°C sıcaklıkta farklı sürelerde kalsine edilen alünitin $\text{KF}'\text{lü}$ ($\text{KF}/\text{Al}_2\text{O}_3 = 0,60$) HCl ve H_2SO_4 çözeltilerinde, $(95+5)^{\circ}\text{C}$ sıcaklığında gerçekleştirilen leaching reaksiyon hız sabitlerinin alünitin kalsinasyon süresi ile değişimi ($\text{kx}10^3 \text{ st}^{-1}$)

Kalsinasyon t(dk)	3MHCl	$1,5\text{MH}_2\text{SO}_4$
15	13,884	14,553
30	12,776	13,517
60	7,270	7,821
60*	14,586	15,178

* Alünit 650°C 'de kalsine edilmiştir.

Çizelge 4.11. 650°C sıcaklıkta 60dk kalsine edilen alünitin $\text{KF}'\text{süz}$ ve $\text{KF}'\text{lü}$ ($\text{KF}/\text{Al}_2\text{O}_3 = 0,60$) HCl ve H_2SO_4 çözeltilerinde, $(95+5)^{\circ}\text{C}$ reaksiyon sıcaklığında gerçekleştirilen leaching reaksiyon hız sabitlerini asit çözeltilerinin derişimleri ile değişimi ($\text{kx}10^3 \text{ st}^{-1}$)

Derişim (M)	HCl	$\text{KF}/\text{Al}_2\text{O}_3 = 0,60$ (moi oranı)	H_2SO_4		Derişim (M)
			-	-	
0,5	4,062	3,136	8,430	4,098	0,25
1,5	7,595	11,566	12,145	8,039	0,75
3,0	9,784	14,586	15,178	10,109	1,5
6,0	9,099	-	-	9,255	3,0

Çizelge 4.12. Farklı sıcaklıklarda 60dk kalsine edilen alünit ve (Alünit+KF) karışımının $\text{KF}'\text{süz}$ ve $\text{KF}'\text{lü}$ HCl ve H_2SO_4 çözeltilerinde, $(95+5)^{\circ}\text{C}$ reaksiyon sıcaklığında gerçekleştirilen leaching reaksiyon hız sabitlerinin kalsinasyon sıcaklığı değişimi ($\text{kx}10^3 \text{ st}^{-1}$)

Kalsinasyon $T(^{\circ}\text{C})$	3MHCl		$1,5\text{MH}_2\text{SO}_4$	
	I	II	II	I
100	1,623	-	-	1,629
400	2,543	1,747	1,760	2,558
500	7,366	2,570	2,600	8,104
600	13,665	-	-	14,961

Çizelge 4.12. (devam)

Kalsinasyon T($^{\circ}$ C)	3MHCl		1,5MH ₂ SO ₄	
	I	II	II	I
650	14,586	11,196	11,272	15,178
700	11,269	7,299	8,294	11,940
800	7,270	2,535	2,483	7,821
900	4,257	-	-	4,299

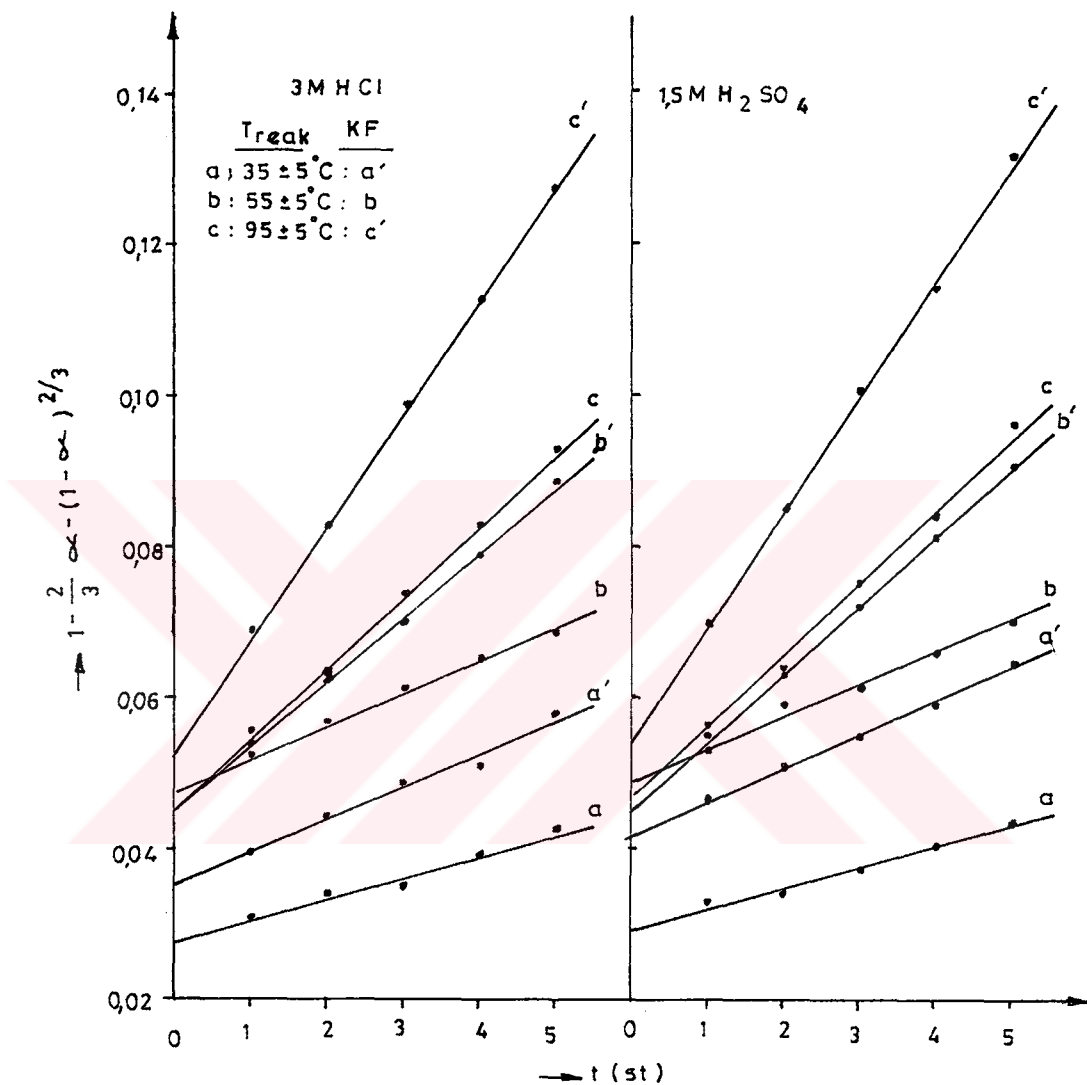
KF/Al₂O₃ = 0,60 mol oranında KF, gözelti ortamında (I) ve kalsinasyon ortamında (II) kullanılmıştır.

4.3.3. Leaching prosesinin gözlenen aktivasyon enerjisi

Leaching prosesi reaksiyon mekanizmasını aydınlatmak için, leaching prosesi reaksiyonu üzerinde sıcaklığın etkisi araştırılmıştır. Bu amaç ile 650°C sıcaklıkta 60dk ve 800°C sıcaklıkta 15 dk kalsine edilen alünitin 3MHCl ve 1,5MH₂SO₄ gözeltilerinde potasyum florürsüz ve potasyum florürlü ortamda leaching reaksiyonları 35°C, 55°C ve 95±5°C reaksiyon sıcaklıklarında tekrarlandı. Verilen şartlarda elde edilen denel veriler kullanılarak çizilen $t \rightarrow 1 - \frac{2}{3}\alpha - (1-\alpha)^{2/3}$ değişim grafikleri Şekil 4,6 da, bu reaksiyonlara ait hesaplanan gözlenen hız sabit değerleri Çizelge 4,13'de verilmistir.

Çizelge 4.13. Leaching reaksiyon hız sabitlerinin reaksiyon sıcaklığı ile değişimi ($\text{k} \times 10^3 \text{ st}^{-1}$)

Kalsinasyon şart.	650°C, 60dk				800°C 15dk		
	KF'süz		KF/Al ₂ O ₃ = 0,60 (mol oranı)				
Reaksiyon T($^{\circ}$ C)	3M HCl	1,5M H ₂ SO ₄	1,5M H ₂ SO ₄	3M HCl	3M HCl	1,5M H ₂ SO ₄	
35±5	2,780	2,733	4,450	4,333	2,648	2,746	
55±5	4,180	4,125	8,919	8,406	7,214	7,759	
95±5	9,784	10,109	15,178	14,586	13,884	14,553	



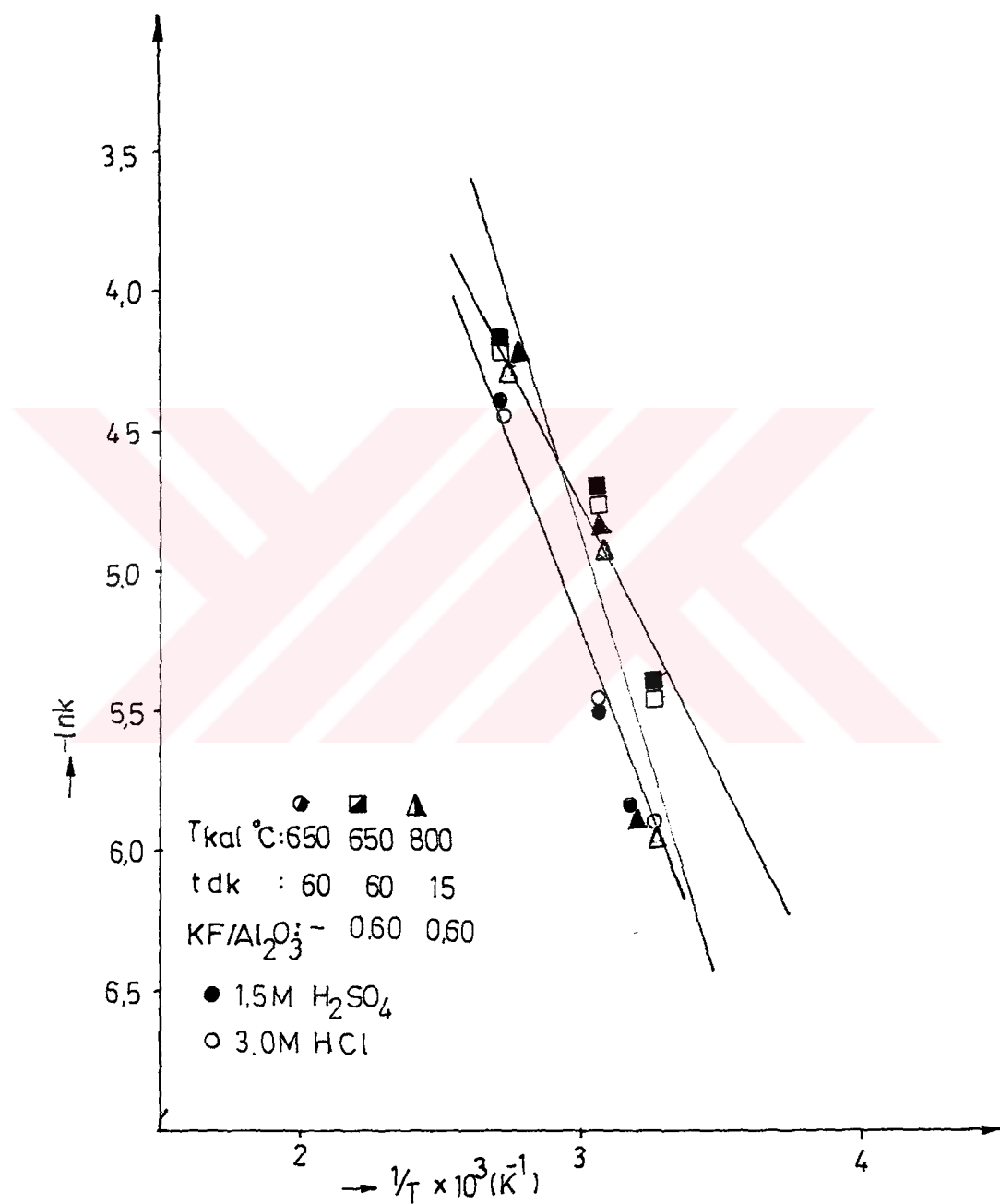
Sekil 4.6 650°C sıcaklıkta 60dk kalsına edilen alünitin KF'süz ve KF'lu ($\text{KF}/\text{Al}_2\text{O}_3 = 0,60$) HCl ve H_2SO_4 çözeltilerinde, farklı reaksiyon sıcaklıklarında gerçekleştirilen leaching reaksiyonlarına ait $t \rightarrow f(\alpha)$ grafikleri.

$k_{göz} = Ae^{-E_a/RT}$ Arrhenius bağıntısı dikkate alınarak gözlenen hız sabitlerinin ($\ln k_{göz}$) mutlak sıcaklığın ($1/T$) tersi ile değişim grafiği çizildi (Şekil 4,7). Denel bulguların teorik bağıntıya uygun olduğu görülmüş ve en küçük kareler yöntemi ile leaching prosesi aktivasyon enerjisi hesaplanmıştır. Hesaplanan aktivasyon ener-

jilerinin leaching proses şartları ile değişen değerleri Çizelge 4,14'de verilmiştir.

Çizelge 4.14. Alünitteki alüminyumun leaching reaksiyonuna ait hesaplanan gözlenen aktivasyon enerjileri (Ea kcal/mol)

Kalsinasyon şart.		650°C, 60 dk	800°C, 15dk
Ortam	KF'süz	KF/Al ₂ O ₃ = 0,60 (mol oranı)	
3MHCl	4,81	4,43	5,99
1,5MH ₂ SO ₄	4,90	4,46	6,01

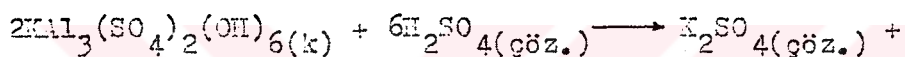


Sekil 4.7 Gözlenen hız sabitlerinin sıcaklık ile değişimi.

5. DEHİT BULGULARIN TARTIŞILMASI

5.1. ALÜNİTTEKİ ALÜMINYUMUN ÇÖZÜNDÜRÜLMESİ

Bu çalışmada alünit cevherindeki alüminyumun asidik leaching proses teknigi ile çözündürülmesi doğal cevherin hazırlanma ve leaching ortam şartları değiştirilerek incelemiştir. Kullanılan cevherdeki doğal sap, $KAl_3(SO_4)_2(OH)_6$ ve safsızlık olarak SiO_2 'denoluğu kimyasal bileşiminden anlaşılmaktadır. Asitli ortamda çözünebilen bileşenler doğal cevherin kütlesinin %50'sini oluşturmaktadır. Leaching prosesinde kullanılan H_2SO_4 ve HCl asit çözeltilerinde alünitin çözünme reaksiyonları olarak aşağıdaki denklemler yazılabılır.



Leaching prosesinde kullanılan örnekteki (~5g) doğal sapın (~6mmol) verilen reaksiyon denklemlerine göre tamamen çözelti fazına alınabilmesi için teorik olarak 18mmol H_2SO_4 veya 36mmol HCl asit gereklidir. Çalışmalarımızda kullanılan asit çözelti hacmi sabit tutulmuş, derişimi değiştirilerek ortamındaki asit miktarı değiştirilmiştir. Çizelge 4,2'de görüldüğü gibi her iki asit türü için; ortamındaki asit miktarı arttıkça çözünme oranı artmış, 1,5M H_2SO_4 ve 3,0 M HCl asit çözeltileri için maksimum çözünme oranına ulaşıldıkten sonra daha derişik ortamlarda çözünme oranı azalmıştır. Bulgular kullanılan asit miktarının (mol) teorik miktarın 10 katı olmasında en iyi çözünme verimine ulaşabileceğini göstermiştir.

Bölüm 4,3'de verilen tüm neticeler, alünitteki alüminyumun çözündürülmesinde iki asitten birinin diğerine göre daha avantajlı ol-

madiğini göstermektedir. Doğal cevherden üretilmek istenen muhtemel ürünler dikkate alınarak asit seçimi yapılabılır.

Leaching prosesinde gözelti ortamında potasyum florür varlığının etkisi araştırılmıştır. Çizelge 4,3'de görüldüğü gibi gözelti ortamında KF miktarı arttıkça alüminyumun çözünme oranı artmış, KF/Al_2O_3 mol oranının 0,60 olmasında maksimum değere ulaşmıştır. Daha yüksek oranlarda KF varlığının çözünme oranını azalttığı bulunmuştur. Neticeler, KF'ün her iki asit gözeltisinde de aynı etkiye sahip olduğunu göstermektedir (Çizelge 4,4). Gözelti ortamında etkin miktarda ($KF/Al_2O_3=0,60$) potasyum florürün bulunmasında potasyum florür bulunmamasına göre çözünme oranının %8 civarında artışına neden olduğu bulunmuştur (Çizelge 4,8).

Doğal cevherdeki alüminyumun çözünme oranının cevherin kalsinasyon sıcaklığı ile değiştiği ve $650^{\circ}C$ sıcaklıkta hazırlanan örnekteki alüminyumun en yüksek oranda (%81) çözündüğü bulunmuştur (Çizelge 4,5). $650^{\circ}C$ 'den daha düşük ve daha yüksek sıcaklıklarda kalsine edilen örneklerdeki alüminyumun daha az oranda çözünmesi, cevherde sıcaklığa bağlı gerçekleşen katı faz reaksiyonları ile bağlantılıdır. Doğal cevherdeki yapı suyu uzaklaşmasının $600^{\circ}C$ sıcaklıkta tamamlanlığı, α -alüminanın γ -alüminaya dönüşmesi ve alüminyum sülfatın alümina ve kükürttricksite parçalanmasının $700^{\circ}C$ üzerindeki sıcaklıklarda gerçekleştiği hatırlanırsa (Bayliss et al., 1948; Bayliss and Koch, 1955; Gülensoy, 1968; Gülensoy ve Şengil, 1989) en iyi çözünme verimi için, örneklerin bu iki sıcaklık arasındaki sıcaklıklarda kalsinasyonunu gerektirmektedir. Çin alünitindeki alüminyumun çözündürülmesinde, $650^{\circ}C$ 'de 60dk veya $700^{\circ}C$ 'de 15dk kalsine edilen örneklerde ve Şaphane alünitinden alüminyum sülfat üretiminde ise $600^{\circ}C$ de 60 dk veya $700^{\circ}C$ 'de 15 dk kalsine edilen örneklerde maksimum verim elde edilmiştir (Ting, 1952; Gedikbey, 1985).

Etkin kalsinasyon sıcaklığından daha düşük veya daha yüksek sıcaklıklarda kalsine edilen alünitteki alüminyumun çözündürülmesinde potasyum florürün gözelti ortamında daha etkin olduğu Çizelge 4,5' de görülmektedir. Etkin kalsinasyon sıcaklığında ($650^{\circ}C$) hazırlanan örnekteki alüminyumun çözünme oranı, KF'ün katı fazda bulunması halinde %4 ve gözelti fazında bulunmasında ise %8 arttığı bulun-

muştur (Çizelge 4,8).

Leaching prosesi ortam sıcaklığının alünitteki alüminyumun çözünme oranı üzerindeki etkisi Arrhenius denkleminden beklenildiği gibi olduğu bulunmuştur (Çizelge 4,7).

5.2. Leaching Proses Kinetiği

Alünitteki alüminyumun çözündürülmesine ait reaksiyon kinetiğinin belirlenmesi amacıyla, Bölüm 3,2'de verilen teorik bilgiler kullanılarak denel veriler değerlendirilmiştir. Çalışmalarımızda kullanılan alünitin küresel parçacıklardan olduğu kabul edilerek heterojen reaksiyonu sınırlayan olay araştırılmıştır. Şekil 4,1'de görüldüğü gibi denel verilerin, ürün katmanındaki diffüzyonun sınırlayıcı olması durumunda önerilen teorik hız denklemlerine daha fazla uyum sağladığı bulunmuştur. Denel verilerin disk veya plaka geometrili parçacıklar için önerilen hız denklemi ile uyumlu olmasası (Şekil 4,1) başta yaptığız kabulün (parçacıkların küresel geometriye sahip olması) doğruluğunu göstermiştir.

Şekil 4,2; 4,3; 4,4 ve 4,5'de görüldüğü gibi; alünitin hazırlanma şartları ve reaksiyon ortam şartlarının değişmesinde de reaksiyon mekanizmasının değişmediği ve çözünme reaksiyonunun ürün katmanındaki diffüzyon ile sınırlanıldığı doğrulanmıştır.

İlgili grafiklerde elde edilen doğruların koordinat merkezinden geçmemesi ve farklı değerlerde ordinatı kesmeleri kullanılan alünit parçacıklarının aynı boyutlu olmamasından kaynaklanmaktadır. 100 mesh altı olarak alınan örnek içinde çok küçük yarıçaplı parçacıklarda ürün katman kalınlığının çok küçük olması, bu parçacıklarda alüminyumun kısa zamanda çözünmesine neden olmaktadır. Bu sonuç; yüzey reaksiyonunun, ürün katmanındaki diffüzlenme hızından daha hızlı olduğunu da göstermektedir.

Denklem 3,34'e göre; reaksiyona ait gözlenen hız sabiti, $k_{\text{göz.}} = \frac{2VDC}{\pi r_0^2}$ olup, $k_{\text{göz.}}$, D, C ve r_0 'ın fonksiyonudur. Tüm deneylerde aynı örnek kullanıldığı hatırlanırsa r_0 'ın değişken değil sabit olacağı açıklıdır. Asit derisimi hariç diğer ortam şartları ve alünit hazırlanma şartlarının aynı olması durumunda diffüzyon katsayısı da sabit olacaktır. Bu durumda $k_{\text{göz.}} = k' C^n$ teorik bağıntısı

yazılabilir. İki farklı başlangıç asit derişimi için hesaplanan $k_{\text{göz.}}$ değerleri (Çizelge 4,11) kullanılarak, $n = \ln(k_2/k_1)/\ln(C_2/C_1)$ bağıntısından n değeri hesaplanmıştır. Çizelge 4,15'te görüldüğü gibi KF'lü ortamda her iki asit türü için, sabit bir n değeri elde edilmiştir. KF'süz ortamda ise, n değişken değerler almaktadır.

Çizelge 4.15. $k_{\text{göz.}} = k' C^n$ denklemine göre KF'lü (n_2) ve KF'süz (n_1) ortam için hesaplanan n değerleri

HCl			H_2SO_4		
C(M)	n_1	n_2	n_2	n_1	C(M)
0,5	-	-	-	-	0,25
1,5	0,57	0,32	0,33	0,61	0,75
3,0	0,49	0,32	0,33	0,50	1,50
6,0	0,33	-	-	0,33	3,00

Çizelge 4,11 ve 4,15'de verilen bulgular, leaching çözücü ortamında bulunan KF'nün diffüzyonu arttırıcı yönde etki gösterdiğini göstermektedir. Asit derişiminin hız sabiti üzerindeki etkisinin KF'süz ortamda değişken olmasına karşın, KF'lü ortamda sabit olduğu bulunmuştur.

KF'ün gözlenen hız sabiti üzerindeki etkisi Çizelge 4,9'da verilmiştir. KF/ Al_2O_3 mol oranı artacak şekilde gözelti ortamında KF'nün artması ile $k_{\text{göz.}}$ düzenli artmış ve 0,60 değeri için en büyük değere ulaştığı bulunmuştur. En etkin diffüzyonun $\text{KF}/\text{Al}_2\text{O}_3 = 0,60$ olmasında gerçekleştiği görülmektedir. Etkin oranda KF varlığı alüminit ürün katman tabakasındaki gözenekliliği arttırarak reaktif ve ürünlerin diffüzyonunu kolaylaştırır. Aşırı miktarda KF varlığında ise, ürün katmanında yıkılmalara neden olarak diffüzyonu güçlendirmektedir.

Çizelge 4,10 ve 4,12'de verilen bulgular göstermiştir ki, alüminitin hazırlanmasında en etkin kalsinasyon şartları 650°C 'de 60dk süreli kalsinasyondur. KF'ün gözelti fazı yerine kalsinasyondan önce alünit ile karıştırılarak kullanılması durumunda, daha az etkin

olduğu bulunmuştur.

5.3. Gözlenen Aktivasyon Enerjisi

Alünitteki alüminyumun leaching prosesi için belirlenen en etkin şartlarda (kalsinasyon sıcaklığı ve süresi, asit derişimi ve KF miktarı), alünitteki alüminyumun çözünürlüğünün reaksiyon sıcaklığı ile değişimini incelemiştir, elde edilen neticeler Çizelge 4,13 ve Şekil 4,6'da verilmiştir. Çizelge 4,13'de verilen değerlerin teorik Arrhenius bağıntısına uyumlulığını araştırmak için çizilen grafik Şekil 4,7'de görülmektedir. Verilerin teorik Arrhenius bağıntısına uyumlu olduğu görülmüş ve farklı ortam şartları için hesaplanan aktivasyon enerji değerleri Çizelge 4,14'de verilmiştir.

Gerek KF'lı ve gerekse KF'süz ortam için hesaplanan aktivasyon enerjileri, her iki asit türü için de hemen hemen aynı değerde olup, 5 kcal/mol değerinden daha küçüktür. Aktivasyon enerjilerinin 5 kcal/mol değerinden daha küçük olması, çözünme reaksiyonunun diffüzyon kontrollü gerçekleştiğini doğrulamıştır (Forward and Peters, 1985). KF'lı ortam için hesaplanan aktivasyon enerjilerinin KF'süz ortam için hesaplanan değerlerden 400 cal kader daha düşük olması, KF'ün diffüzyonu kolaylaştırıcı olarak rol oynadığını göstermiştir.

6. SONUÇLAR VE ÖNERİLER

6.1. Sonuçlar

Yaptığımız çalışmalardan elde ettiğimiz sonuçları aşağıdaki gibi özetleyebiliriz.

Alünitteki alüminyumun çözündürülmesine zit heterojen reaksiyon ürün katmanındaki diffüzyon ile sınırlanmıştır.

Diffüzyon kontrollü leaching reaksiyonunun aktivasyon enerjisi $1,5M H_2SO_4$ için 4,90 kcal/mol ve $3,0 M HCl$ için 4,81 kcal/mol'dır. Ortamda KF bulunması durumunda ise aktivasyon enerjileri sırası ile 4,46 kcal/mol ve 4,43 kcal/mol hesaplanmıştır.

Gözelti ortamında KF varlığı reaksiyon aktivasyon enerjisini düşürerek, alüminyum çözünme verimini artırmaktadır. Potasyum fluorin etkisi, KF/Al_2O_3 mol oranı 0,60 olmasından maksimum değere ulaşmaktadır.

Leaching prosesinde çözündürme verimi için kullanılan iki asitten biri diğerine göre daha yararlı olmadığı bulunmuştur. Üretilcek ürüne göre asit türü tercih edilebilir.

Gözelti ortamındaki asit miktarı (mol), teorik asit miktarının (mol) 10 katı oluncaya kadar alüminyumun çözünme verimi sürekli artmaktadır.

En iyi çözündürme verimi için alünitin $650^{\circ}C$ 'de 60dk süreyle kalsına edilmesi gereğiği bulunmuştur.

Leaching prosesinde ortam sıcaklığının $90^{\circ}C$ 'den düşük olmaması gereğiği tesbit edilmiştir.

6.2. Öneriler

Alünit cevherinin leaching reaksiyonu üzerinde tanecik boyutunun etkisi araştırılmalı, optimum tanecik boyut aralığı belirlenmelidir.

Ürün katman tabakasındaki diffüzyon katsayı araştırılmalıdır.

Ürün katman tabakasında diffüzyonu artıracı olarak KF yerine KCl , $NaCl$ gibi tuzların etkisi araştırılmalıdır.

Leaching prosesinde çözeltideki asit derisimini sabit tutarak katı miktarı/cözelti hacmi arasındaki ilişki araştırulmalıdır.

KAYNAKLAR DİZİNİ

- Alpay, E., 1984, Kütle aktarımı, E.Ü.Mühendislik Fakültesi Yayınları, İzmir, 3,189 s.
- Apaydın, N. ve Ersegen, N., 1981, Türkiye'nin bilinen maden ve mineral kaynakları, Maden Tetkik ve Arama Enstitüsü Yayınları, Ankara, 185, 67 s.
- Aydoğan, O., Ersoy, H. ve Kocatepe, M., 1980, Türkiye alüminyum envanteri, Maden Tetkik ve Arama Enstitüsü Yayınları, Ankara, 181, 95 s.
- Bayliss, N.S., Cowley, J.M., Farrant, J.L. and Miles, G.L., 1948, The thermal decomposition of synthetic and natural alunite: an investigation by x-ray diffraction, electron diffraction, and electron microscope methods, Australian. J. Sci. Research., 343-350.
- Bayliss, N.S. and Koch, D.F.A., 1955, Thermal decomposition of alunite, Australian Chem. Inst. J.D. Proc, 6, 293-305.
- Bird, R.B., Stewart, W. E. and Lightfoot, E.N., 1960, Transport phenomena, John Wiley Sons, Inc., New York, 769 p.
- Bozkurt, R., 1985, Mineral tanıma el kitabı, Eskişehir, 145 s.
- Cairns, D., 1948, Western Australia's potash lakes, Fertilizer, Feeding Stuffs, Farm Supplies J.34, 671, 673-674.
- Coşkuner, Ü., 1978, Alünit cevherinden alüminyum sulfat, alüminyum potasyum sulfat üretimi prosesi, Dostel Alüminyum Sanayii A.Ş., 12 s.
- Erdik, E. ve Sarıkaya, Y., 1984, Temel Üniversite kimyası, Hacettepe-Taş Kitapçılık Ltd. Şti., Ankara, 1,455 s.
- Fink, W.L., Van Horn, K.R. and Pazour, H.A., 1931, Thermal decomposition of alunite, Ind. Eng. Chem., 23, 1248-1250.
- Fletcher, A.W., Finkelstein, N.P. and Derry, R., 1985, Leaching systems, SME mineral processing handbook, N.L. Weiss (Ed.), Society of Mining Engineers of the American Institute of Mining Metallurgical, and Petroleum Engineers, Inc., New York, 2,13,17-23.

KAYNAKLAR DİZİNİ (devam ediyor)

- Forward, F.A. and Peters, E., 1985, Leaching principles, SME mineral processing handbook, N.L. Weiss (Ed.), Society of Mining Engineers of the American Institute of Mining, Metallurgical, and Petroleum Engineers, Inc., New York, 2,13,6-12.
- Forward, F.A. and Warren, I.H., 1985, Leaching technology, SME mineral processing handbook, N.L. Weiss (Ed.), Society of Mining Engineers of the American Institute of Mining, Metallurgical, and Petroleum Engineers, Inc., New York, 2,13,12-17.
- Gajam, S.Y. and Raghavan, S., 1985, A kinetic model for the hydrochloric acid leaching of kaolinite clay in the presence of fluoride ions, Hydrometallurgy, 15, 143-158.
- Gedikbey, T., 1985, Alünit mineralinden alüminyum sülfat üretimi için optimum koşulların belirlenmesi, A.Ü.Müh.Mim.Fak. Der., 2,1,119-127.
- Genç, S., 1989, Şaphane alünit cevherinin değerlendirilmesi, Yüksek lisans tezi, A.Ü., Müh.Mim.Fak., Kimya Mühendisliği Bölümü, Eskişehir, 59 s., (yayınlanmamış).
- Greer, J.S., Madaus, J.H. and Mausteller, J.W., 1982, Potassium compounds, Encyclopedia of chemical technology, H.F. Mark, D.F. Othmer, C.G. Overberger, G.T. Seaborg (Eds.), A Wiley Interscience Publication, New York, 18, 920-948.
- Gülensoy, H., 1968, Türk alünitlerinin termogravimetrik ve mikrokalorimetrik metodlarla etüdü ve piroliz ürûplerinin suda ve sülfat asidindeki çözünürlüklerinin tesbiti, MTA Enst. Mec., 71, 93-123.
- Gülensoy, H., 1971, Türkiye alünit cevherlerinin değerlendirme çalışmaları, Proje, TÜbitak, MAG-122/A, 71 s.
- Gülensoy, H., 1984, Kompleksometrinin esasları ve kompleksometrik titrasyonlar, Fatih Yayınevi Matbaası, İstanbul, 259 s.
- Gülensoy, H. ve Şengil, A., 1989, Alünit cevheri, oluşumu ve bulunduğu hakkında, Kimya ve Sanayii Dergisi, 31,157-158, 116-131.
- Gülensoy, H., Şengil, A. ve Taberdar, T., 1989, Alünit cevherlerinin değerlendirilmesi hakkında, Makale, 12 s.,(yayınlanmamış).

KAYNAKLAR DİZİNİ (devam ediyor)

- Mhalafalla, S.E., Evans, J.W., Kao, C.H., Sohn, H.Y., Türkdoğan, E.T., Cutler, I.B. and Pitt, C.H., 1979, Pyrometallurgical processes, Rate processes of extractive metallurgy, H.Y. Sohn and H.B. Wadsworth (Eds.), Plenum Press, New York, 245-464.
- Türkçe Sektör Araştırması, 1980, Sap ve alüminyum sülfat, Türkiye Sosyal Halkınma Bankası, A.S. Araştırma Müdürlüğü, 24, 35 s.
- Hnizek, J.G. and Nettler, H., 1947, Alunite and clays, Trans. Brit. Ceram. Soc., 46, 22-46.
- Hester, J., Knickerbocker, R.G., Fox, A.L. and Perry, P.R., 1939, Gewinnung von K_2SO_4 und aluminium aus alunit durch schmelzen mit bor saure, US. Dep. Interior, Bur. Mines, Rep. Invest. 3438, 2-15.
- Lee, C.T., Namgoong, Y. and Yoo, Y.H., 1988, Extraction of aluminum and potassium components from alunite by sulfating with ammonium sulfate, Hwahak Konghok, 26, 3, 295-303.
- Bidey, P.E. and Gambill , W.E., 1973, Physical and chemical data, Chemical engineers' handbook, Perry, R.H. and Chilton, C.H. (Eds.), Mc Graw-Hill, Inc., 3, 1-250.
- Liu, F.Y., 1937, Gewinnung von K-alium und ammonium sülfat aus alunit, J. Chem. Eng. China, 4, 37-40.
- L. Valdivieso, A., H. Urbina, R., Aleksandro R., G.G. and Juan C., D.G., 1986, Concentration of the mineral alunite by selective flocculation, Geominar., 143, 30-2, 35-6, 38-40, 42-5.
- Marstiller, C.M., 1978, Aluminum oxide, Encyclopedia of Chemical Technology, H.F. Mark, D.F. Othmer, C.G. Overberger, G.T. Seaborg (Eds.), A Wiley-Interscience Publication, New-York, 2, 218-244.
- Mete, Z. ve Kayınova, A.N., 1984, Tufalın alüminyum sülfat üretiminde değerlendirilmesi, Yıldız Üniversitesi Dergisi, 2, 10-14.

KAYNAKLAR DİZİNİ (devam ediyor)

- Nagai, S. and Harada, T., 1933, Preparation of potassium ammonia fertilizer and alumina cement, J. Chem. Soc. Japan Ind. Chem. Sect., 56, 573-576.
- Norton, F.H., 1974, Elements of ceramics, Addison-Wesley Publishing Company, ABD, 311 p.
- Ogburn, S.C. and Stere, H.B., 1932, Thermal decomposition of aluminite, Ind. Eng. Chem., 24, 288-290.
- Osthaus, B., 1956, Kinetics studies on montmorillonites and nontronite by the acid-dissolution technique, Clays and Clay Minerals, 4, 301-321.
- Pehlke, R.D., 1973, Unit processes of extractive metallurgy, American Elsevier Publishing Company, Inc., New York, 329 p.
- Pickett, D.E., 1985, Feed preparation, SME mineral processing handbook, H.L. Weiss (Ed.), Society of Mining Engineers of the American Institute of Mining, Inc., New York, 2, 13, 3-6.
- Ross, G.J., 1967, Kinetics of acid dissolution of an orthochlorite mineral, Canadian Journal of Chemistry, 45, 3031-3034.
- Satterfield, C.N., 1980, Heterogeneous catalysis in practice, Mc Graw-Hill Book Company, New York, 407 p.
- Shin, B. and Kim, M., 1979, Studies for utilization of aluminite, Hwahak Konghak, 17, 3, 179-186.
- Singer, F. and Singer, S.S., 1963, Industrial ceramics, Chapman and Hall Ltd., London, 1455 p.
- Smith, J.M., 1981, Chemical engineering kinetics, Mc Graw-Hill International Book Company, 3, 676 p.
- Smith, M., 1981, Kimya mühendisliği Ünit operasyonları (Gev. E. Gülbakan), İstanbul, 3, 353 s.
- Sohn, H.Y. 1979, Fundamentals of the kinetics of heterogeneous reaction systems in extractive metallurgy, Rate processes of extractive metallurgy, H.Y. Sohn and H.W. Wadsworth (Eds.), Plenum Press, New York, 1-71.

TARİHİLER DİZGİNİ (Devam ediyor)

- Gengil, İ. A. ve Gülensoy, H., 1934, Saponite alünit cevherinden alüminyum sülfat üretimi yapım bir tesis üzerinde incelemeler, Doğa Bilim Dergisi, 8,2, 153-163.
- Gengil, A., Gülensoy, H. ve Göknal, N., 1987, Alünit cevherinin su tasviyesinde pıhtılaştırıcı ve yumaklaştırıcı olarak kullanılması, M.U. Fen Bilimleri Dergisi, 4, 139-152.
- Ting, C. W., 1952, Extraction of alumina and potash from Chinese alumite by the K-alumite process, Research Bulletin, 8, 38 p.
- Treybal, R.E., 1981, Mass-transfer operations, Mc Graw-Hill International Book Company, 3, 767 p.
- V.Vlack, L.H., 1984, Physical ceramics, Addison-Wesley Publishing Company, ABD, 342 p.
- Wadsworth, W.D. and Miller, J.D., 1979, Hydrometallurgical processes, Rate processes of extractive metallurgy, H.Y. Sohn and W.E. Wadsworth (Eds.), Plenum Press, New York, 133-244.
- Wang, R., Bradley, J.F. and Steinfink, H., 1964, The crystal structure of alunite, Acta Cryst., 18, 249-252.
- Woodcock, J.T., 1985 Leaching process variables, SME mineral processing handbook, N.L. Weiss (Ed.), Society of Mining Engineers of the American Institute of Mining, Metallurgical, and Petroleum Engineers, Inc., New York, 2, 13, 23-26.
- Yamazaki, J., 1926, Study of the production of pure aluminum in the aluminum industry from insoluble, aluminous materials such as clay or alunite, Z. Soc. Chem. Ind., Japan, 29, 154-160.
- Pekin, B., 1978, Fizikokimya deneyleri, Ege Üniversitesi Fen Fakültesi Yayınları, İzmir, 1, 159 s.

T. G.
Yüksekokretim Kurulu
Dokümantasyon Merkezi